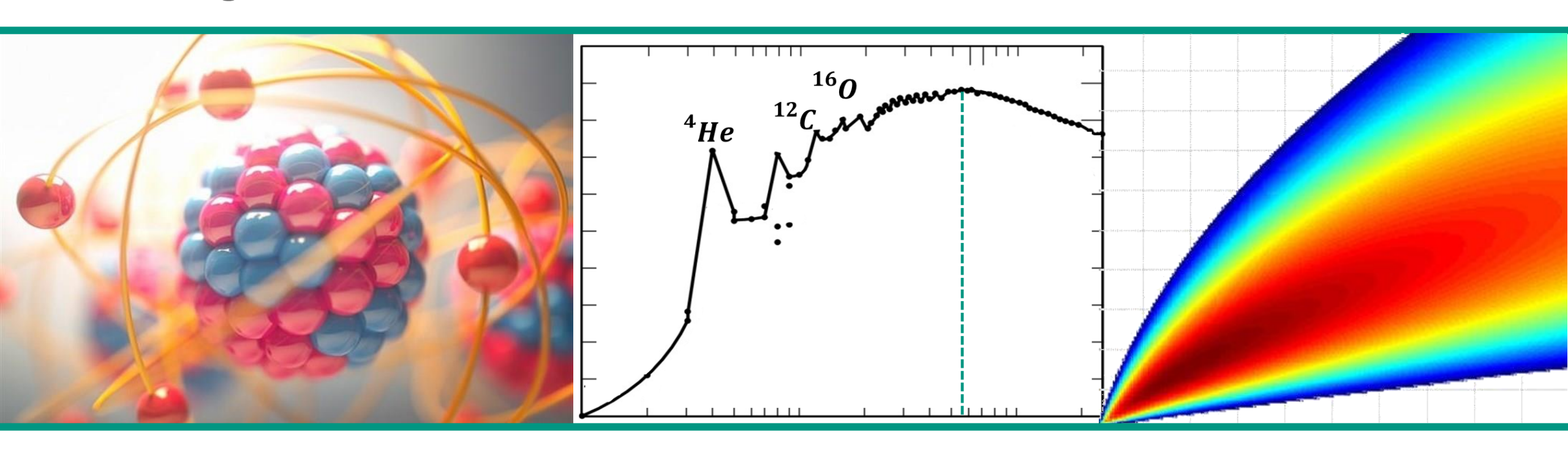




Moderne Experimentalphysik *I* – Atome und Kerne

Vorlesung 19 2.7.2024



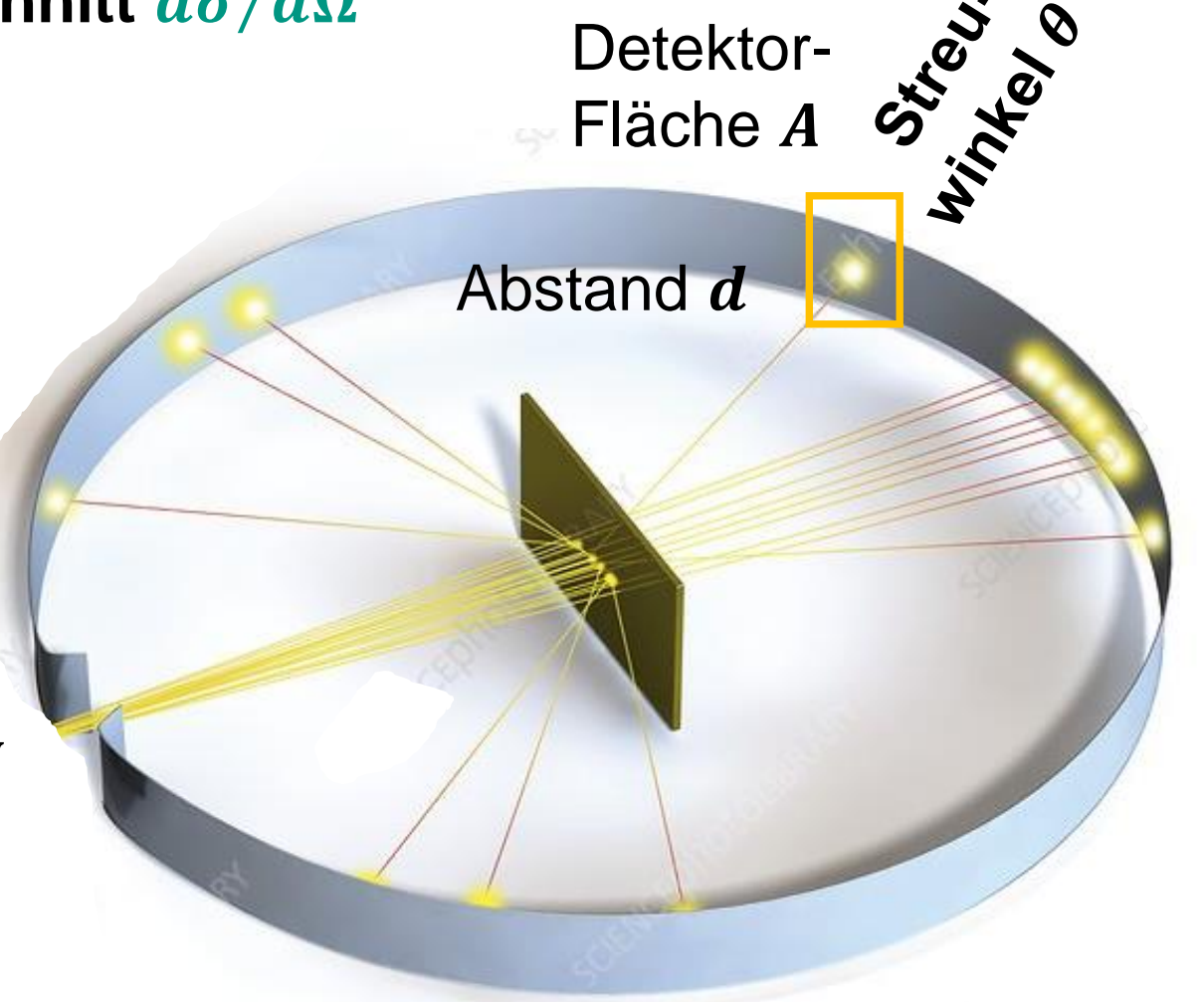
RECAP: Wirkungsquerschnitte



■ Der differentielle Wirkungsquerschnitt $d\sigma/d\Omega$

$$\frac{dW_R}{d\Omega} = J \cdot N_{target} \cdot \frac{d\sigma}{d\Omega}$$

- Teilchen wechselwirkt im Target
 ⇒ läuft aus unter Streuwinkel θ
- Detektor mit Fläche A im Abstand d überdeckt Raumwinkel-Element $d\Omega = A/d^2$
- Einheit von $d\sigma/d\Omega$ ist $[cm^2/sr]$ bzw. [b/sr]



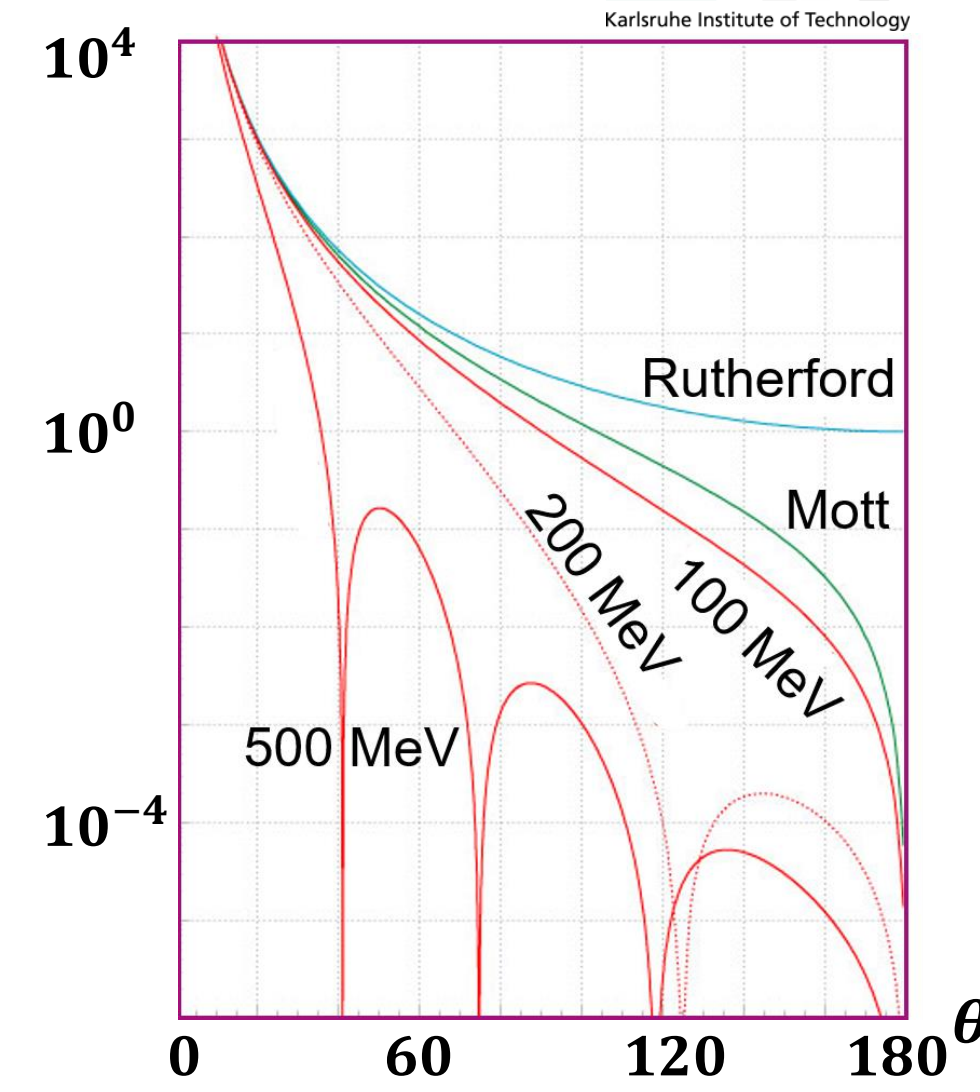
RECAP: Formfaktoren & Ladungsverteilungen



- Vom Formfaktor zur Ladungsverteilung über eine Fourier—Transformation
 - Bestimmung des Formfaktors:

$$\left(\frac{d\sigma}{d\Omega}\right)_{exp} = \left(\frac{d\sigma}{d\Omega}\right)_{Mott} \cdot \left|F(q^2)\right|^2$$

- Beugungseffekte ermöglichen eine Aussage über die Struktur des Objekts



RECAP: Formfaktoren & Ladungsverteilunghen



punktförmig

$$\rho(r) = \delta(r)/4\pi$$

exponentiell

$$\rho(r) \sim e^{-(r/a)}$$

gaußförmig

$$\rho(r) \sim a^{-3} \cdot e^{-(r^2/2a^2)}$$

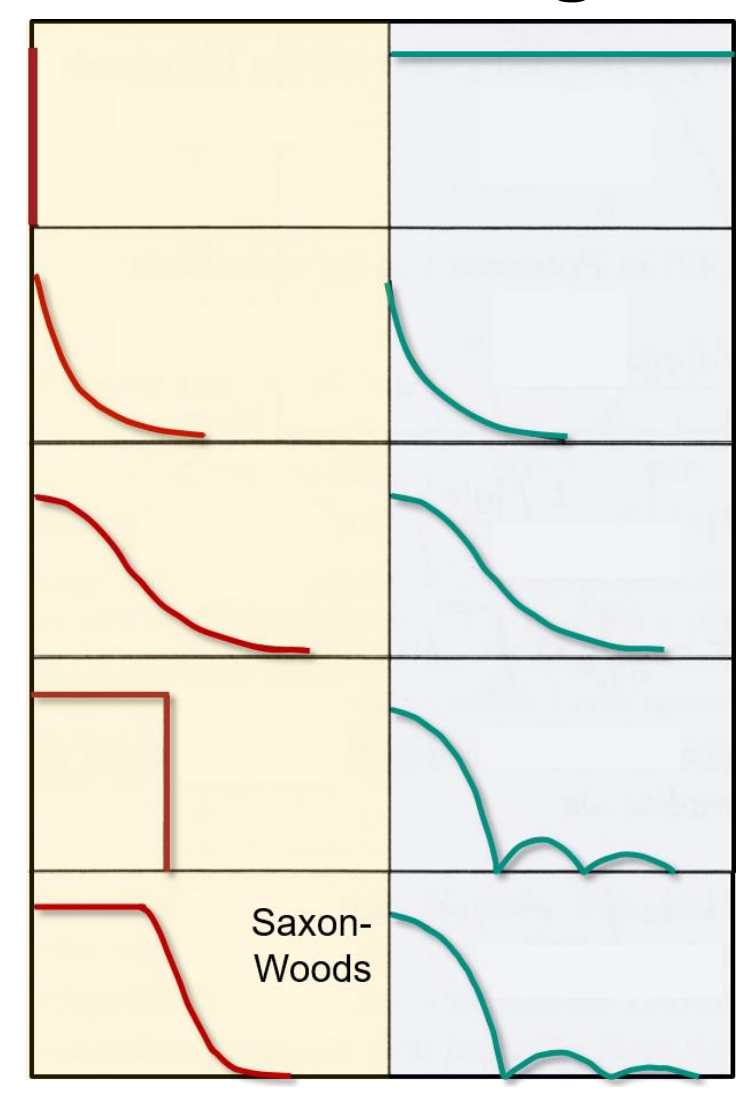
homogene Kugel

$$\rho(r) = \text{const.} (r < a)$$

$$\rho(r) = 0 \qquad (r \ge a)$$

Kugel mit diffusem Rand

$$\rho(r) = r_0/(1 + e^{(r-a)/d})$$



konstant

$$F(q^2)=1$$

Dipol

$$F(q^2) = 1/(1 + a^2q^2)^2$$

gaußförmig

$$F(q^2) = e^{-1/2(a^2q^2)}$$

Oszillation

$$F(q^2) \sim sin(aq) - a \cdot q \cdot cos(aq)$$

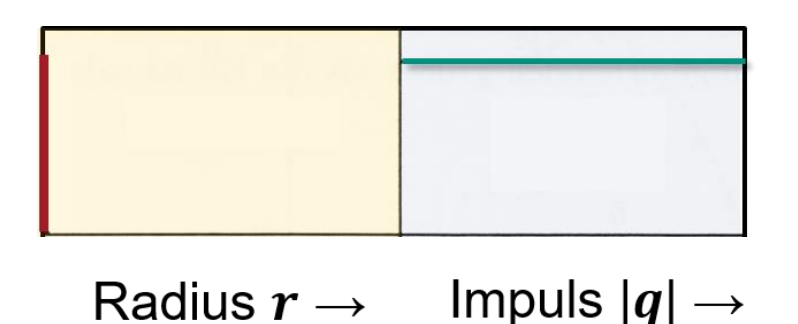
verwaschene Oszillation

Formfaktoren und Ladungsverteilung: Beispiele



Punktförmiges $\rho(r)$

$$\begin{array}{l} \text{punktf\"ormig} \\ \rho(r) = \delta(r)/4\pi \end{array}$$



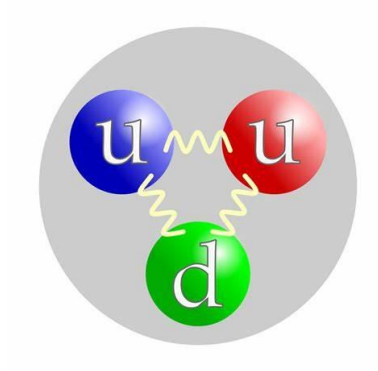
konstant
$$F(q^2) = 1$$

weit entfernte Flugbahnen (niedrige Energie des e^-)

- Kern erscheint punktförmig,
- keine Beeinflussung von $d\sigma/d\Omega$

aber: sehr nahe Flugbahn (hohe Energie des e^-)

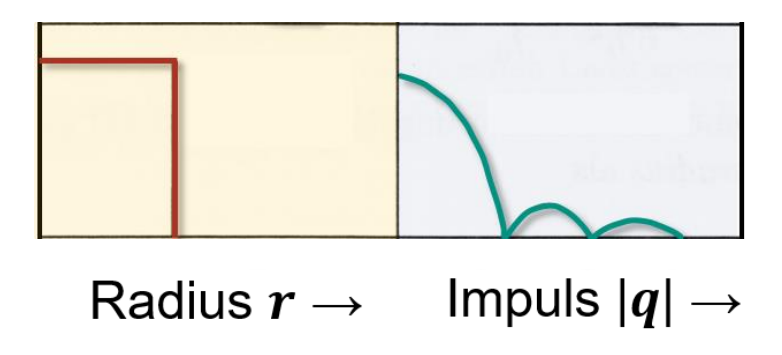
- tiefinelastische Streuung am Proton (1968)
 - ⇒ Proton ist aus **punktförmigen** Konstituenten aufgebaut



Formfaktoren und Ladungsverteilung: Beispiele



Homogene Kugel mit Kernradius a



Oszillation
$$F(q^2) \sim sin(aq) - a \cdot q \cdot cos(aq)$$

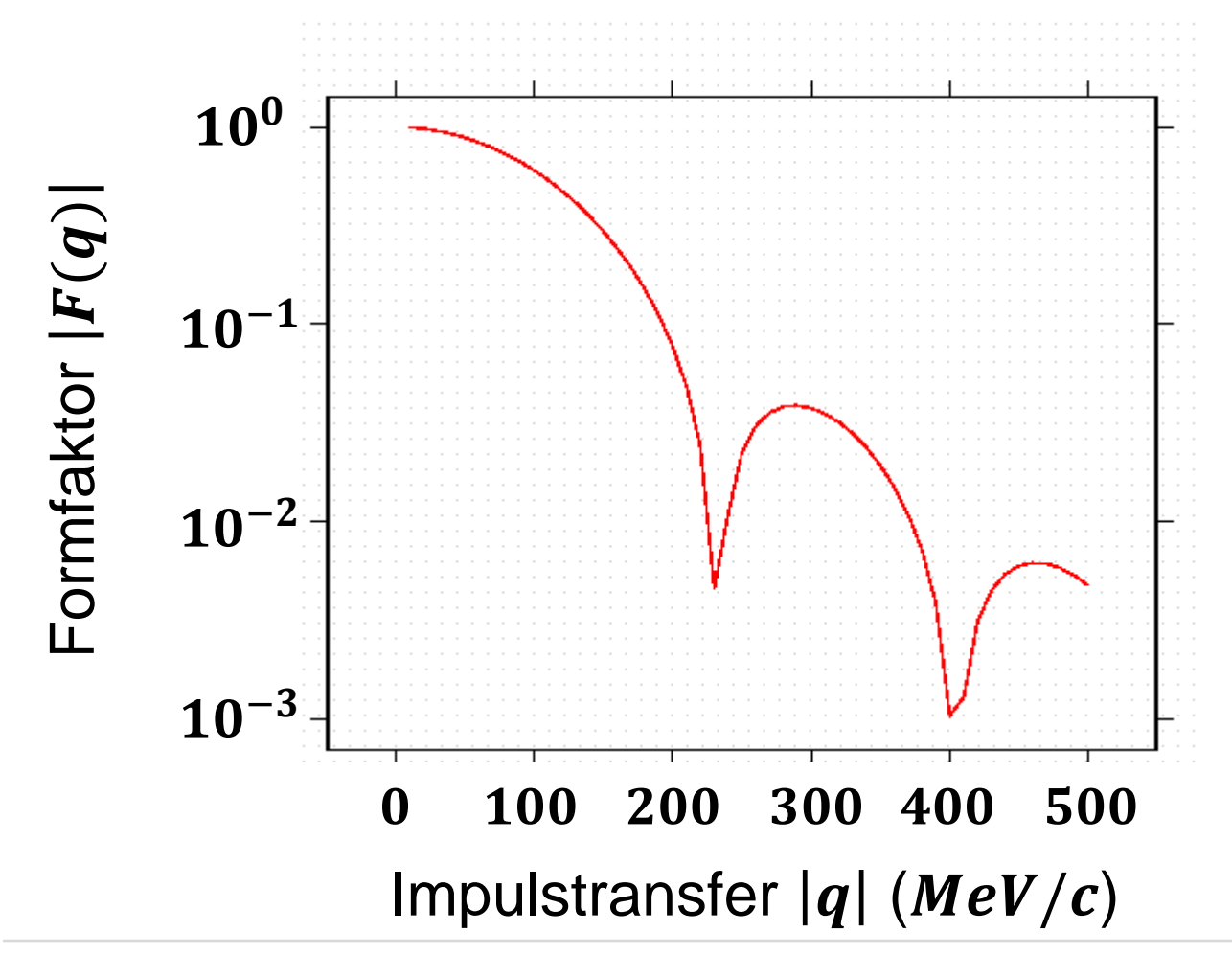
$$\rho(r) = \rho_0 = \frac{3}{4\pi} \cdot \frac{1}{a^3}$$

$$F(q^2) = \frac{3}{(aq)^3} \cdot \{ sin(aq) - aq \cdot cos(aq) \}$$

- oszillierender Formfaktor gibt Aufschluss über Kernradius a



Beugungsminima sind von zentraler Relevanz bei Streuexperimenten



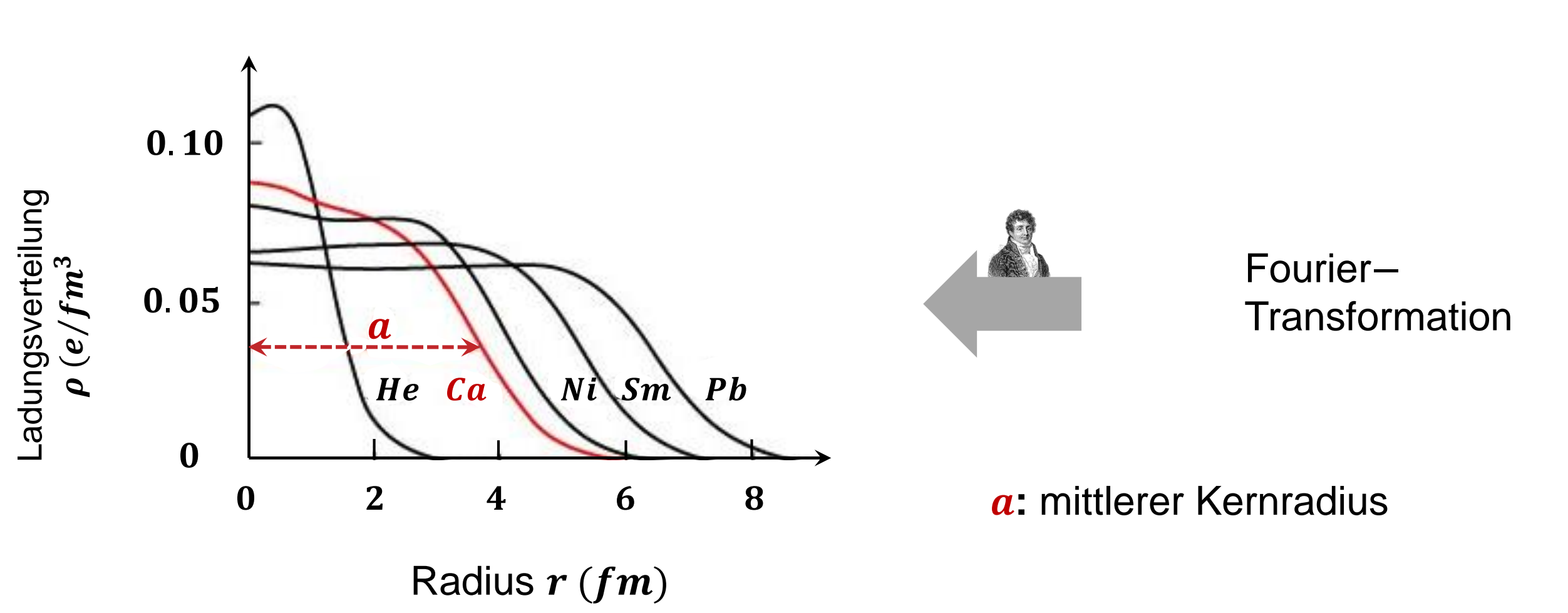


Fourier— Transformation

27.6.2024

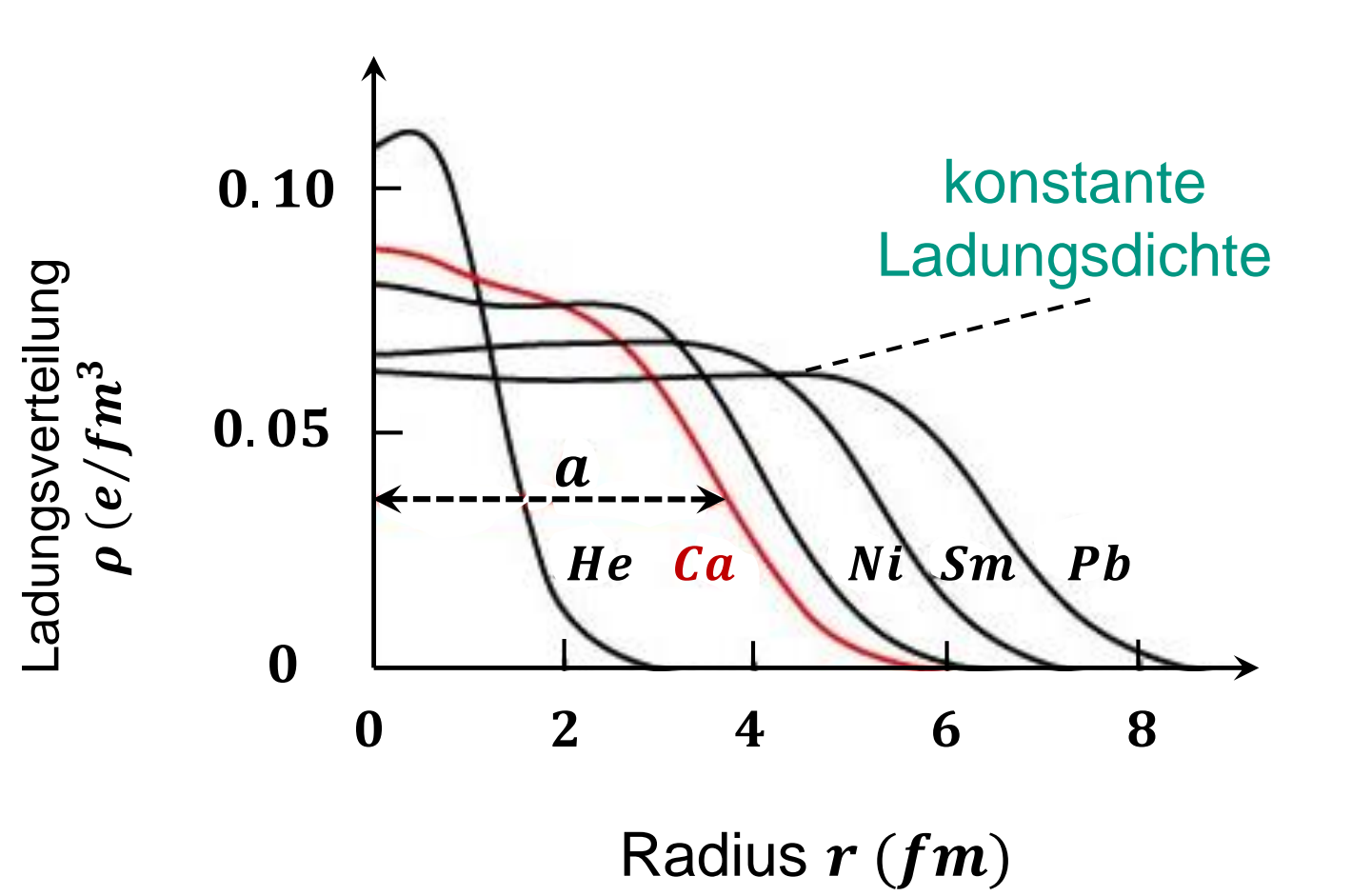


Experimentelle Resultate für Ladungsverteilungen von Kernen





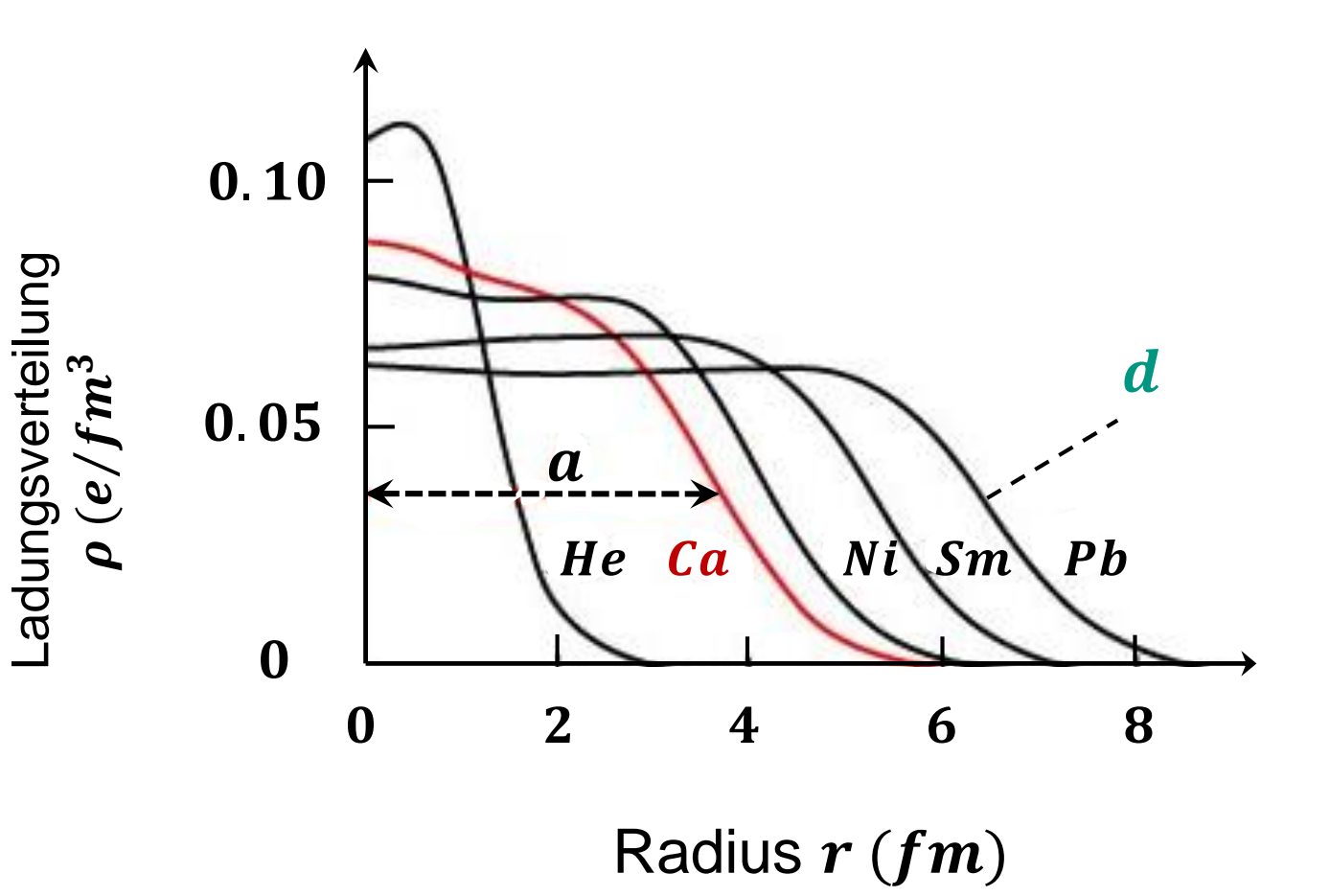
Allgemeine Eigenschaften der Ladungsverteilungen von Kernen



- Kerne zeigen eine fast konstante Ladungsdichte $\rho(r)$
 - ⇒ Kernkräfte zeigen Sättigungscharakter
- Ausnahme: leichte Kerne (He) zeigen ein Gauß-Profil für ho(r)



Allgemeine Eigenschaften der Ladungsverteilungen von Kernen

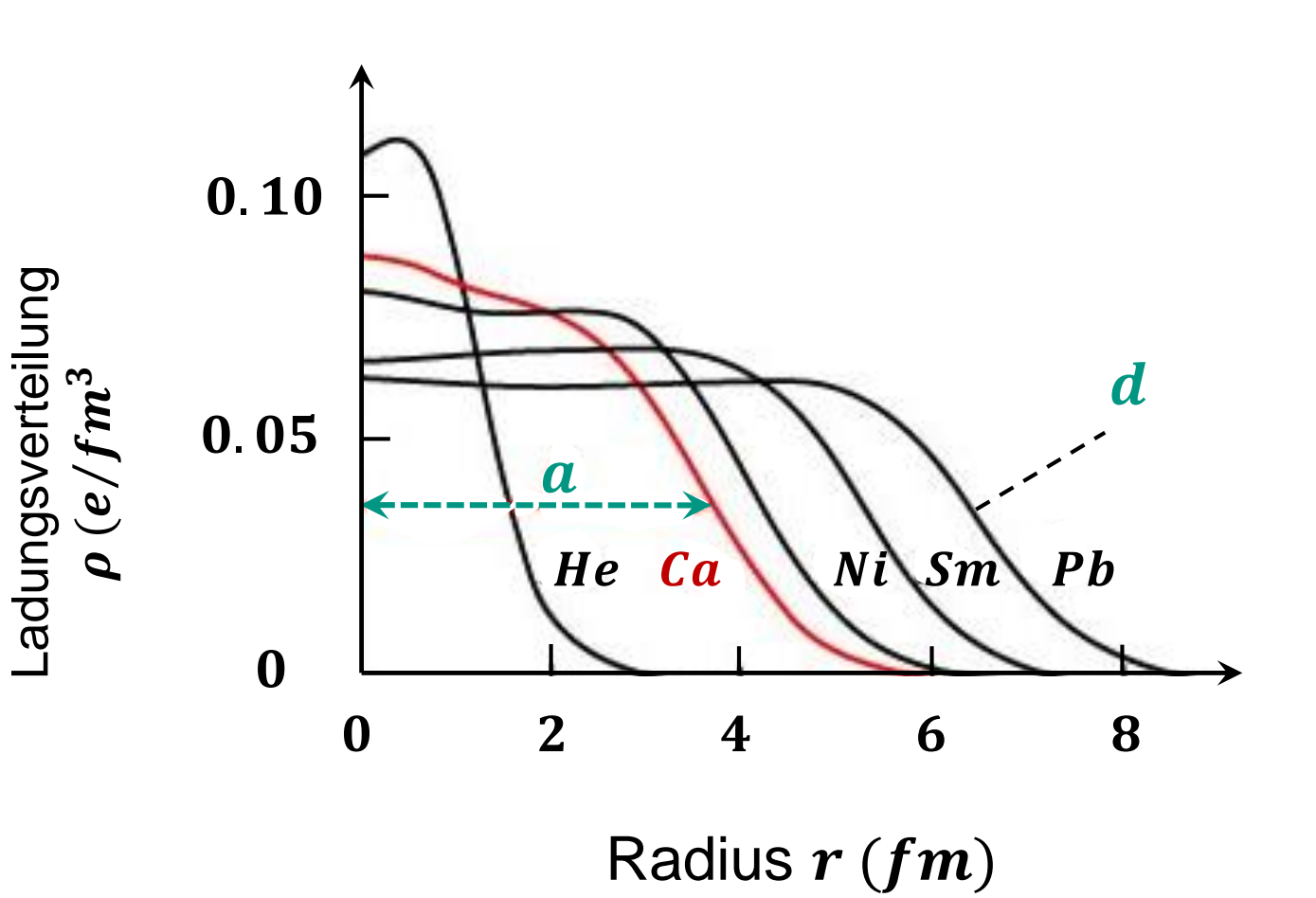


- Kerne zeigen stets einen sehr ähnlichen Abfall der Ladungsdichte nach außen ('Skindicke' d)
- Fit der Kern-Ladungsverteilung nach Woods-Saxon:

$$\rho(r) = \frac{\rho_0}{1 + e^{(r-a)/d}}$$



Allgemeine Eigenschaften der Ladungsverteilungen von Kernen



- Fitparameter (A = Nukleonenzahl)

$$a = (1, 18 \cdot A^{1/3} - 0, 48) fm$$

 $d = (0, 55 \pm 0, 07) fm$

 Fit der Kern-Ladungsverteilung nach Woods-Saxon:

$$\rho(r) = \frac{\rho_0}{1 + e^{(r-a)/d}}$$

10.4 Kernmodelle und Kernkräfte



Erfolgreiche Modelle erlauben die Beschreibung von:

- kollektive Eigenschaften:

Kernladung Z, Größe (Radius α) und Form (sphärisch, deformiert), Kernmasse M, kollektive Anregungen (Riesenresonanz), Stabilität

- Eigenschaften durch individuelle Nukleonen:

Bindungsenergie pro Nukleon E_B/A , elektrische & magnetische Momente μ , Einteilchen-Anregungszustände (Resonanzen) Quantenzahlen: Spin I & Parität P

neue Quantenzahl: Isospin

Kernmodelle und Kernkräfte



- Erfolgreiche Modelle erlauben die Beschreibung von
 - dynamische Eigenschaften:

Ablauf & Wirkungsquerschnitte & Energiebilanz von Kernreaktionen wie Fusion, Spaltung, Nukleonentransfer, ...

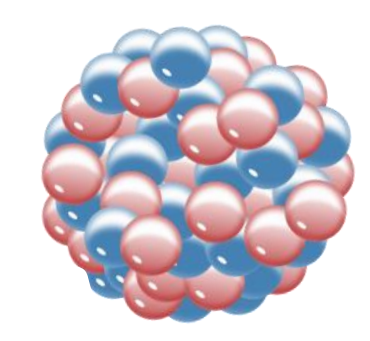
⇒ experimentelle Messung via **Streu-Experimente**, Massen-Spektrometer,...

Experimentelle Beobachtungen



- Charakteristische Kerneigenschaften
 - Kernradien und Kerndichten

Kernmaterie mit konstanter Dichte $\rho = 10^{17} kg/m^3$, $R = 1, 2 fm \cdot A^{1/3}$



- Bindungsenergien und Kernkräfte

konstante Bindungsenergie $E_B/A \sim 8 \; MeV$ pro einzelnem Nukleon

⇒ gesättigte Kernkräfte

Experimentelle Beobachtungen



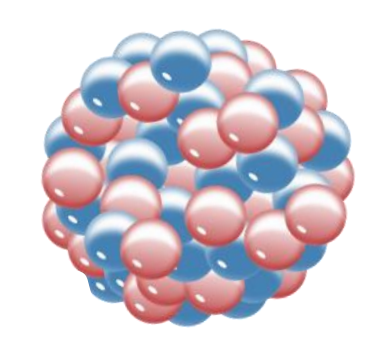
Charakteristische Kerneigenschaften

- Stabilitätsverhalten

stabile Kerne (Kernladung Z, Nukleonenzahl A Neutronenzahl N) finden sich

kleines A: N = Z

grosses A: N > Z



- Zerfallsmoden von Kernen

$$\alpha$$
-, β -, γ - Zerfall

Kernspaltung

Emission von Nukleonen: p, n, d, ...

Experimentelle Beobachtungen



Charakteristische Kerneigenschaften

- Spin und Parität

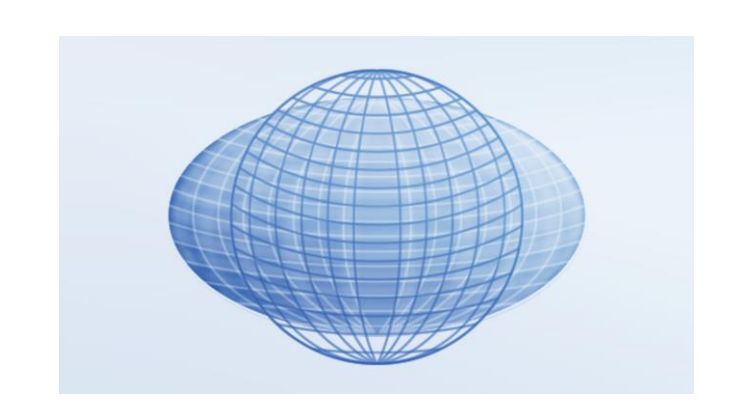
Kernniveaus besitzen definierten Spin / und definierte Parität P beobachtetes $J^P: 0^+, 2^+, 4^+, 0^-, 1^-, ...$

$$0^+$$
 — 7,65 MeV^*

$$0^+$$
 $C(g.s.)$

Kernanregung und Kerndeformation

Lage von angeregten Zuständen beobachtete kollektive Anregungen beobachtete Kerndeformationen

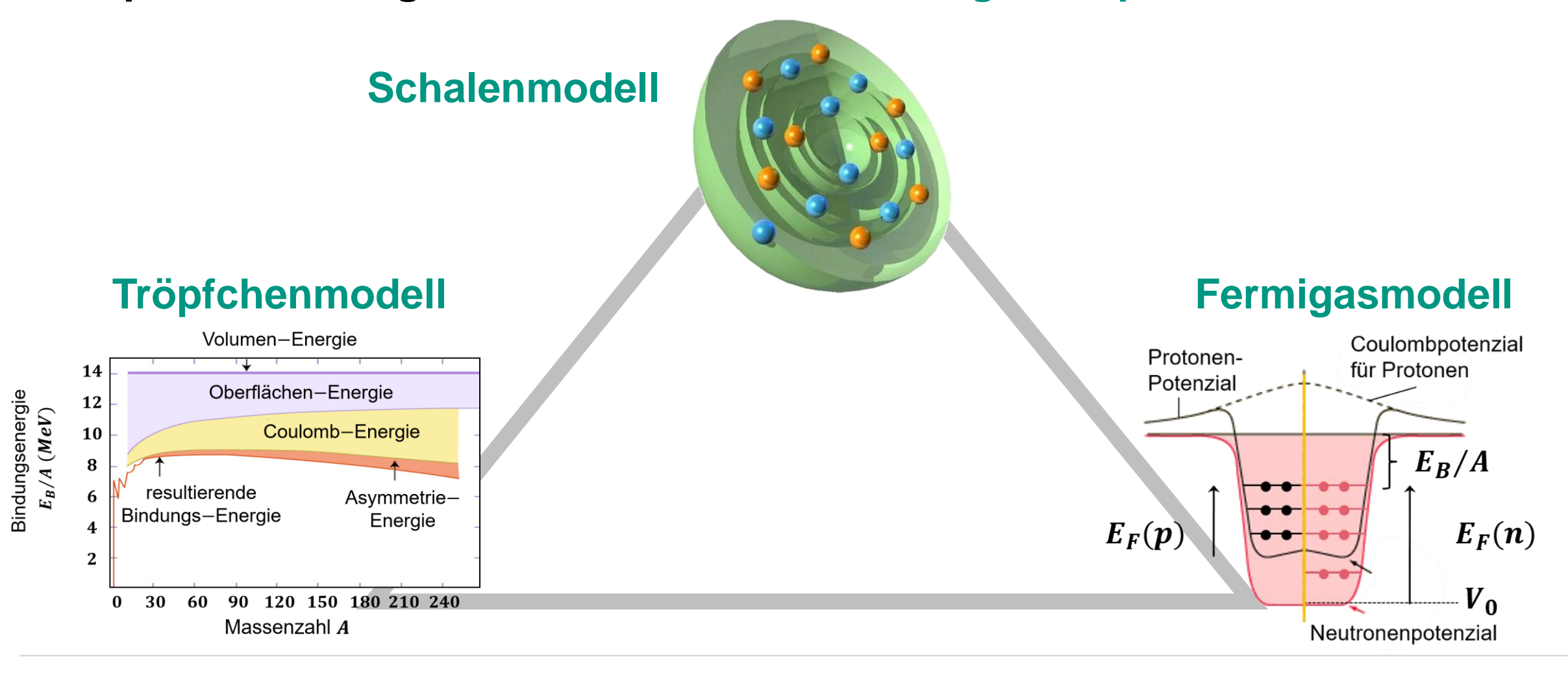




- phänomenologische Kernmodelle
 - Kerne sind komplexe Vielteilchensysteme
 - es existiert (noch) keine fundamentale Theorie auf Basis der **Q**uanten-**C**hromo-**D**ynamik (**QCD**)
 - seit langer Zeit arbeitet man daher mit phänomenologischen Modellen
 - jedes **spezifische Modell** kann bestimmte Kerneigenschaften besonders gut reproduzieren (aber nicht alle...)



phänomenologische Kernmodelle: 3 wichtige Beispiele





phänomenologische Kernmodelle: Tröpfchenmodell

Tröpfchenmodell

Kern in enger Analogie zu geladenem Flüssigkeitstropfen (quasi-klassisch) Nukleonen bewegen sich stark korreliert in inkompressibler Flüssigkeit

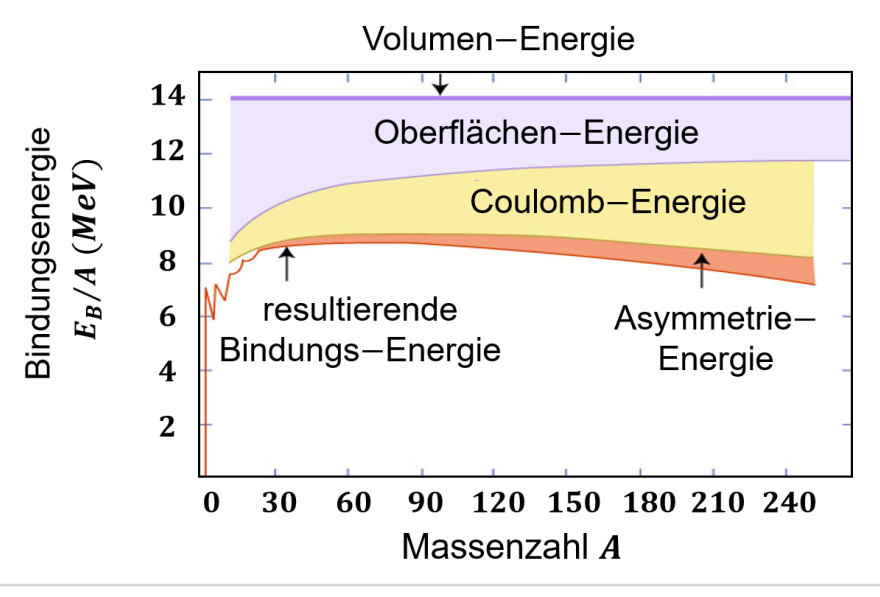
reproduziert besonders gut

Bindungsenergie pro Nukleon E_B/A





C. F. von Weizsäcker*





phänomenologische Kernmodelle: Fermigasmodell

Fermigasmodell

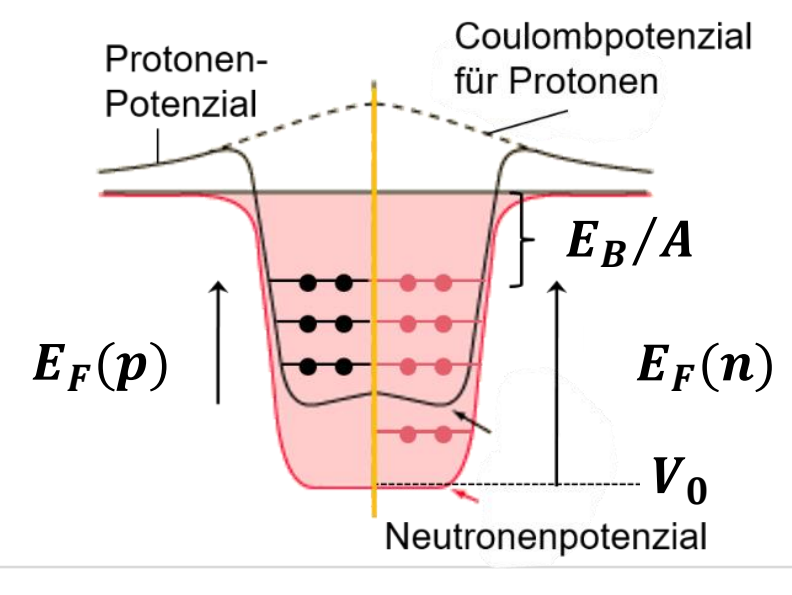
Nukleonen bewegen sich unabhängig voneinander als Fermionen in einem resultierenden Kernpotenzial Potenzialtiefe folgt aus der Quantenstatistik eines Fermigases

reproduziert besonders gut

mittlere Energie eines Nukleons **Fermikante**



Enrico Fermi*



20



phänomenologische Kernmodelle: Schalenmodell

Schalenmodell

Nukleonen bewegen sich voll quanten mechanisch: Schrödinger—Gleichung Potenzial mit speziellem Spin—Bahn—Term

reproduziert besonders gut

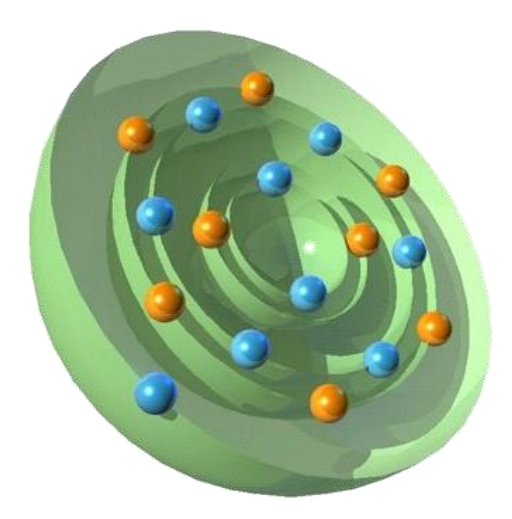
magische Zahlen Spin & Parität von Kernzuständen





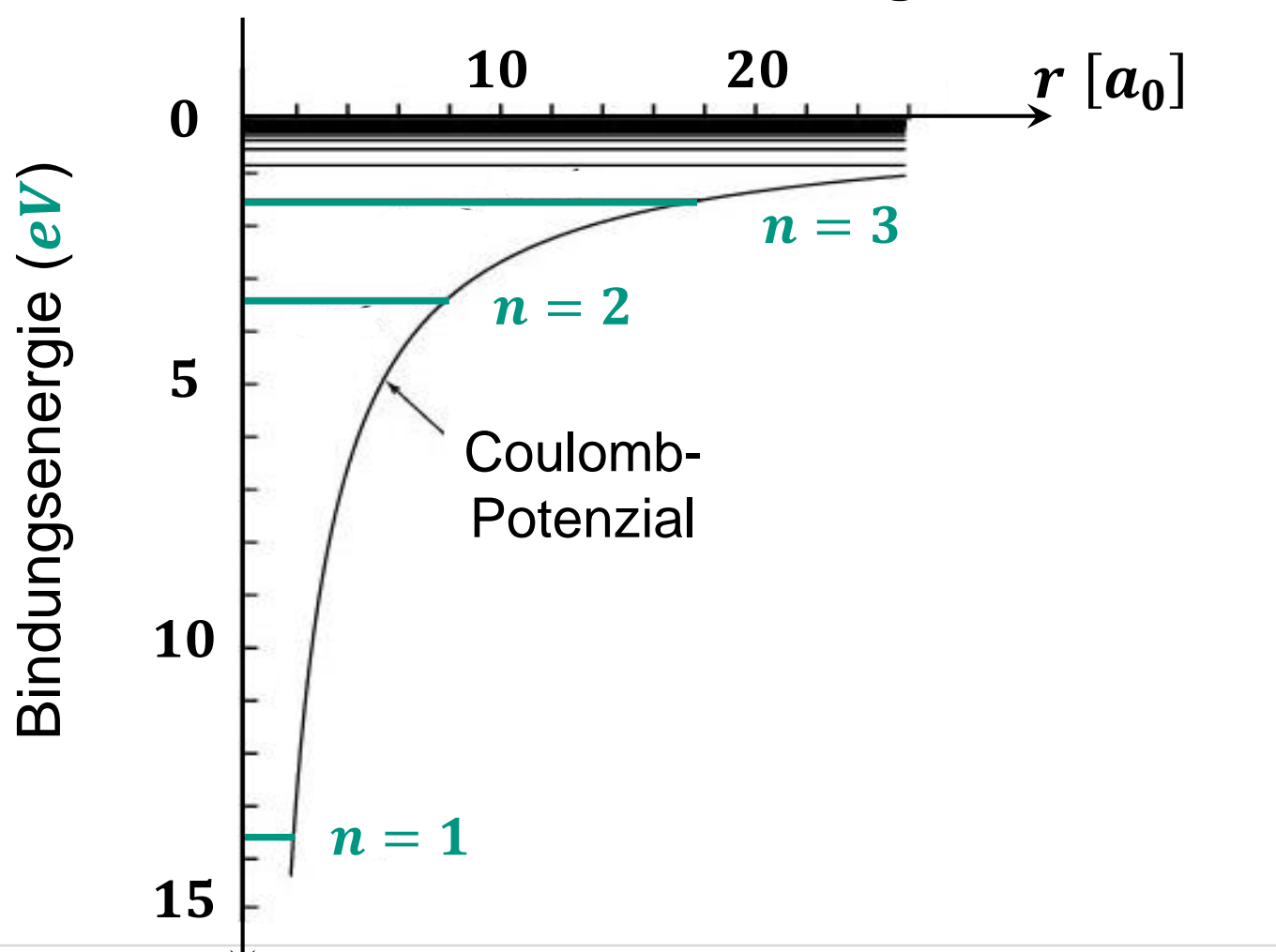
Nobelpreis **1963**

Maria Göppert– Meyer





■ Deutlich verschiedene Energieskalen & stark unterschiedliches Verhalten



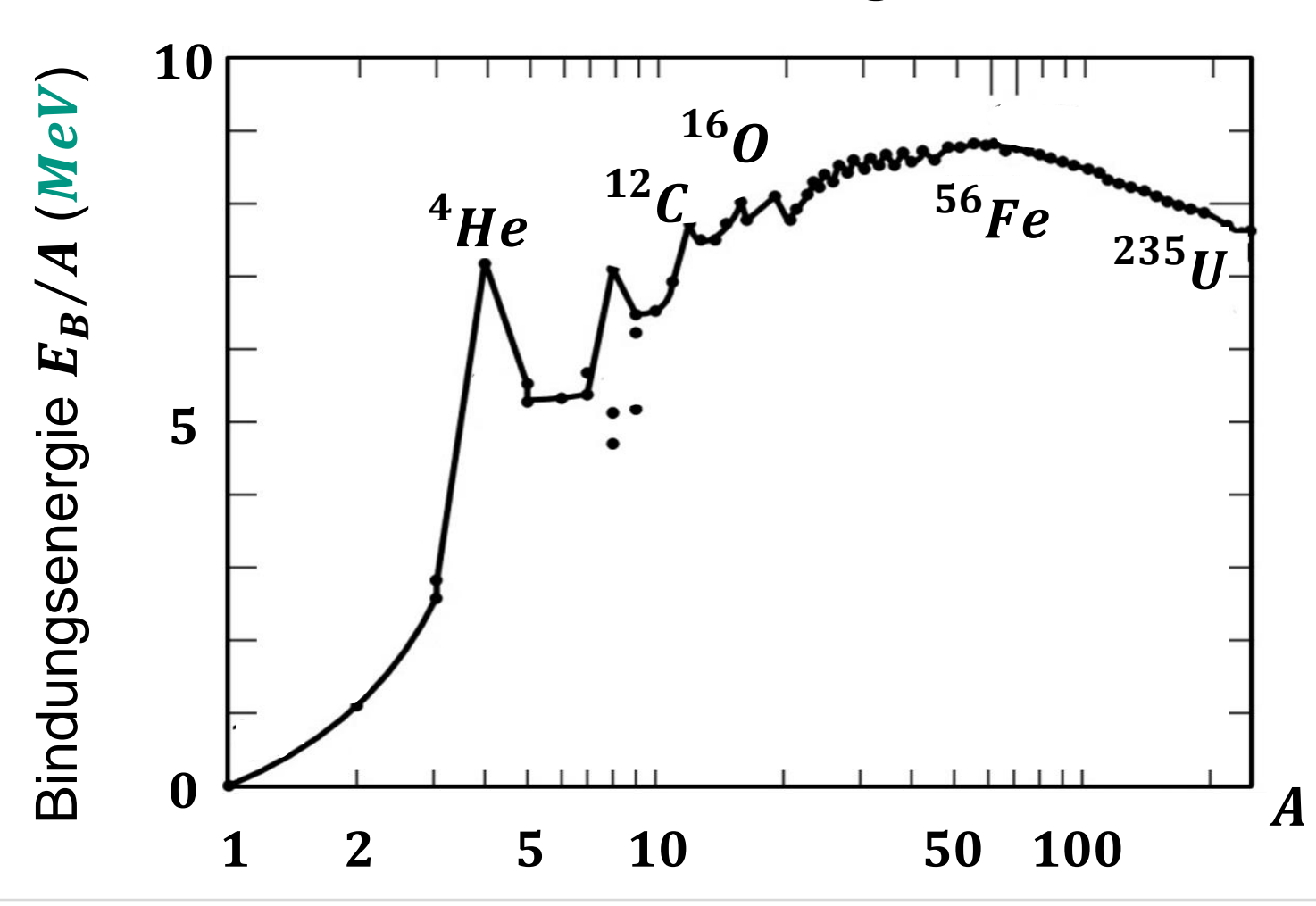
Atomphysik

- Zentralpotenzial
- langreichweitige Coulomb—Wechselwirkung
- Bindungsenergien der Elektronen:

 $eV \dots sub - eV$ Bereich



Deutlich verschiedene Energieskalen & stark unterschiedliches Verhalten



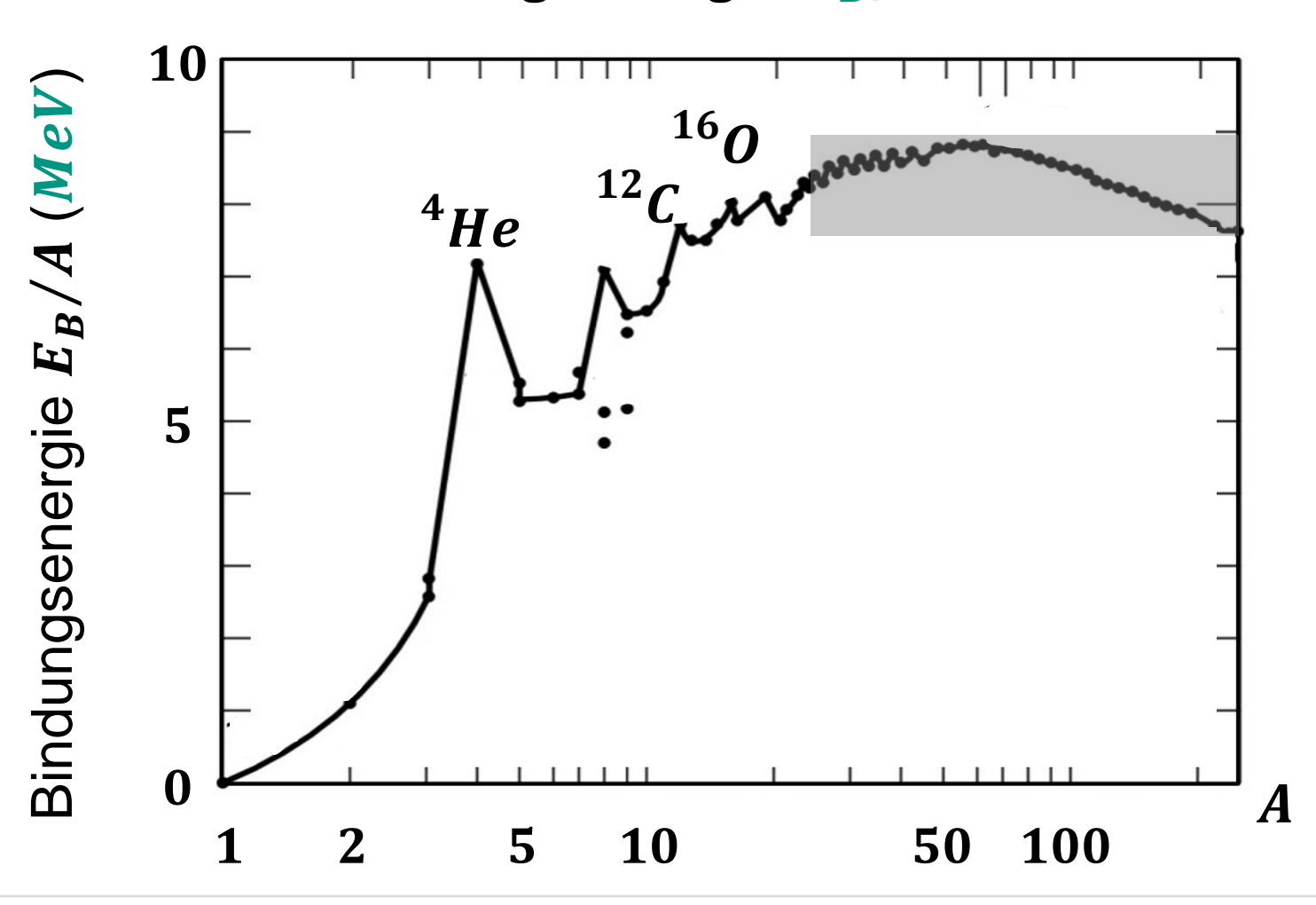
Kernphysik

- gesättigte Kernkraft
- kurzreichweitige starke
 Wechselwirkung
- Bindungsenergien der Nukleonen:

multi - MeV Bereich

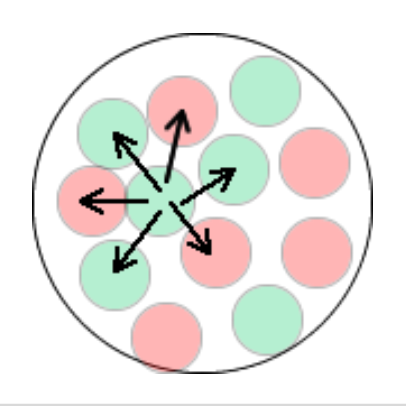


■ Mittlere Bindungsenergie $E_B/A \sim 8 \; MeV$ ab Massenzahl A > 20



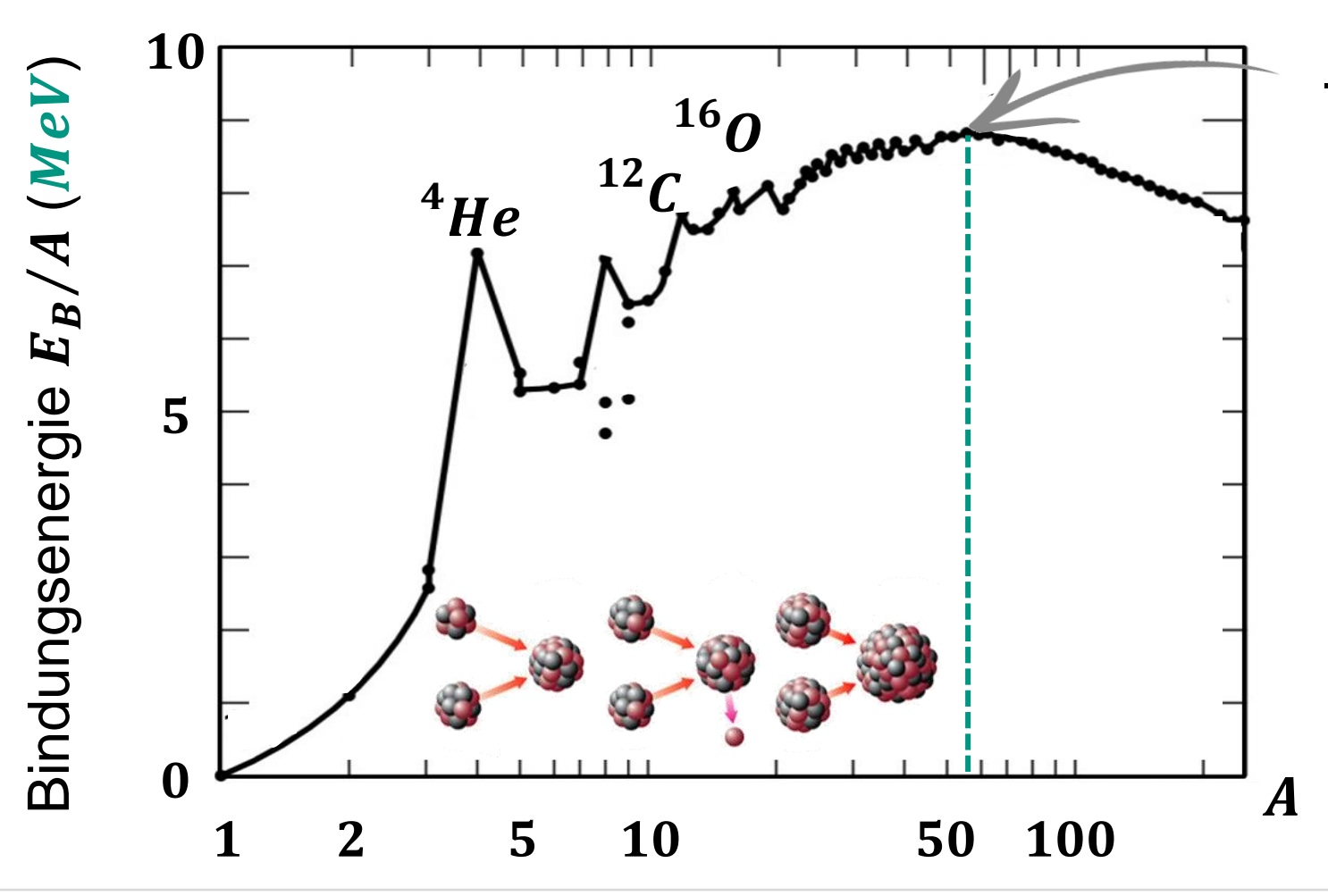
> kurzreichweitige Kernkräfte

Reichweite $\sim 1 fm$





■ Möglichkeit der Kernfusion (leichte Kerne) & Kernspaltung (schwere Kerne)



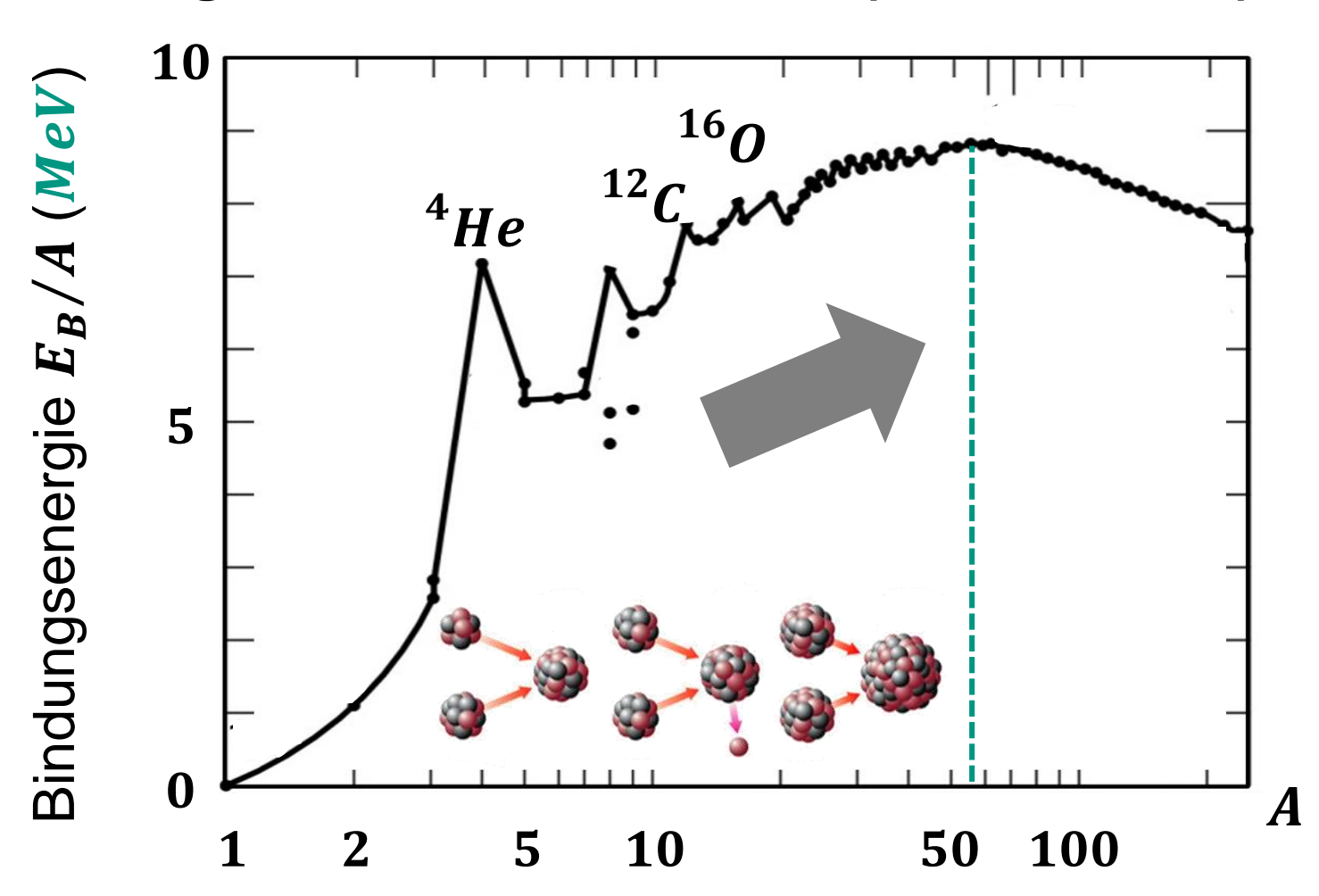
- maximaler Wert von E_B/A bei $A = 56 \dots 58 \, (^{56}Fe, ^{56}Ni)$ \Rightarrow stabilste Elemente

Eisen-Nickel

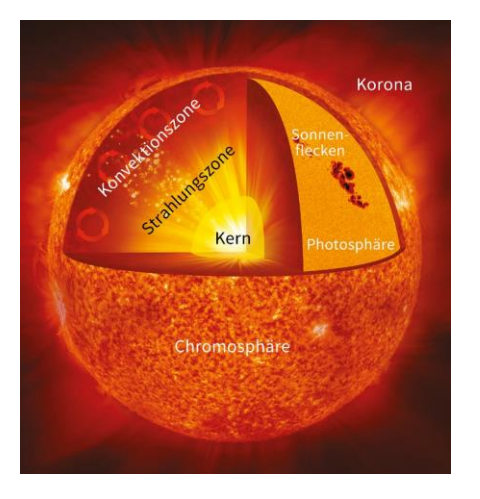




■ Möglichkeit der Kernfusion (leichte Kerne) & Kernspaltung (schwere Kerne)

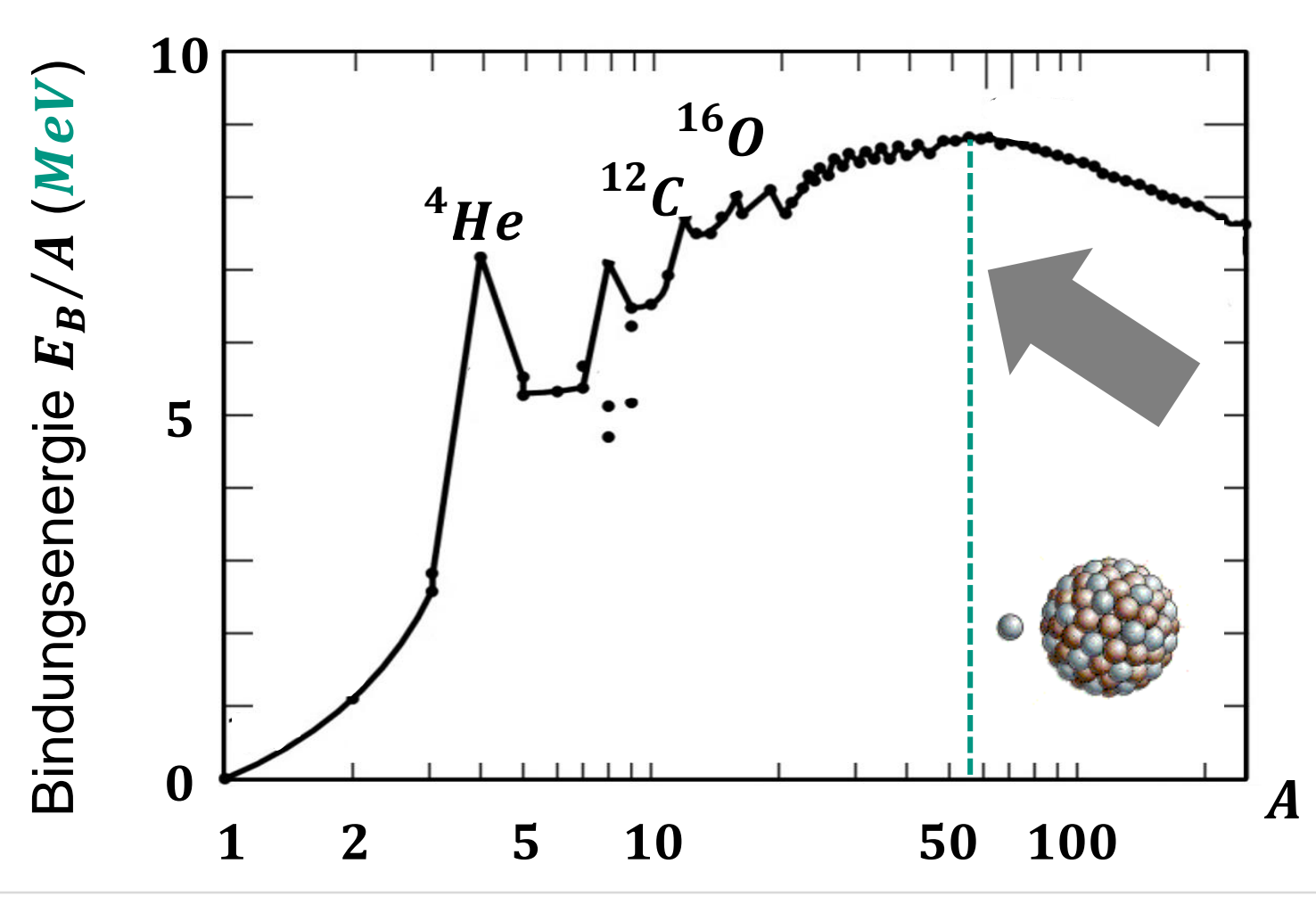


- leichte Kerne (A < 56): FUSION
 Fusionsreaktionen führen zu Kernen mit einer höheren Bindungsenergie
 - **⇒** Energiegewinn





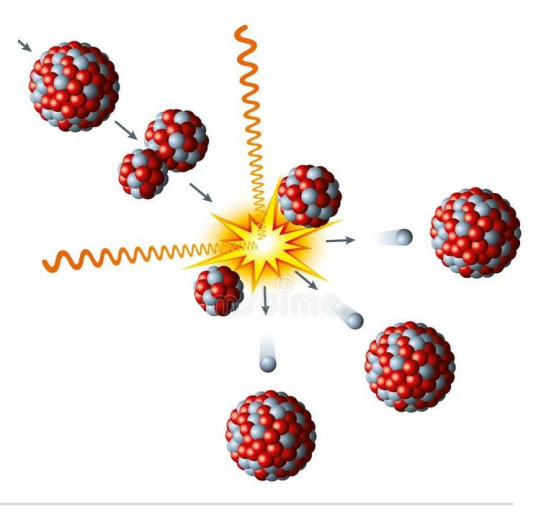
■ Möglichkeit der Kernfusion (leichte Kerne) & Kernspaltung (schwere Kerne)



- schwere Kerne (*A* > 56): SPALTUNG

Spaltreaktionen führen zu Kernen mit einer höheren Bindungsenergie





QUIZ: weshalb keine superschweren Isotope?

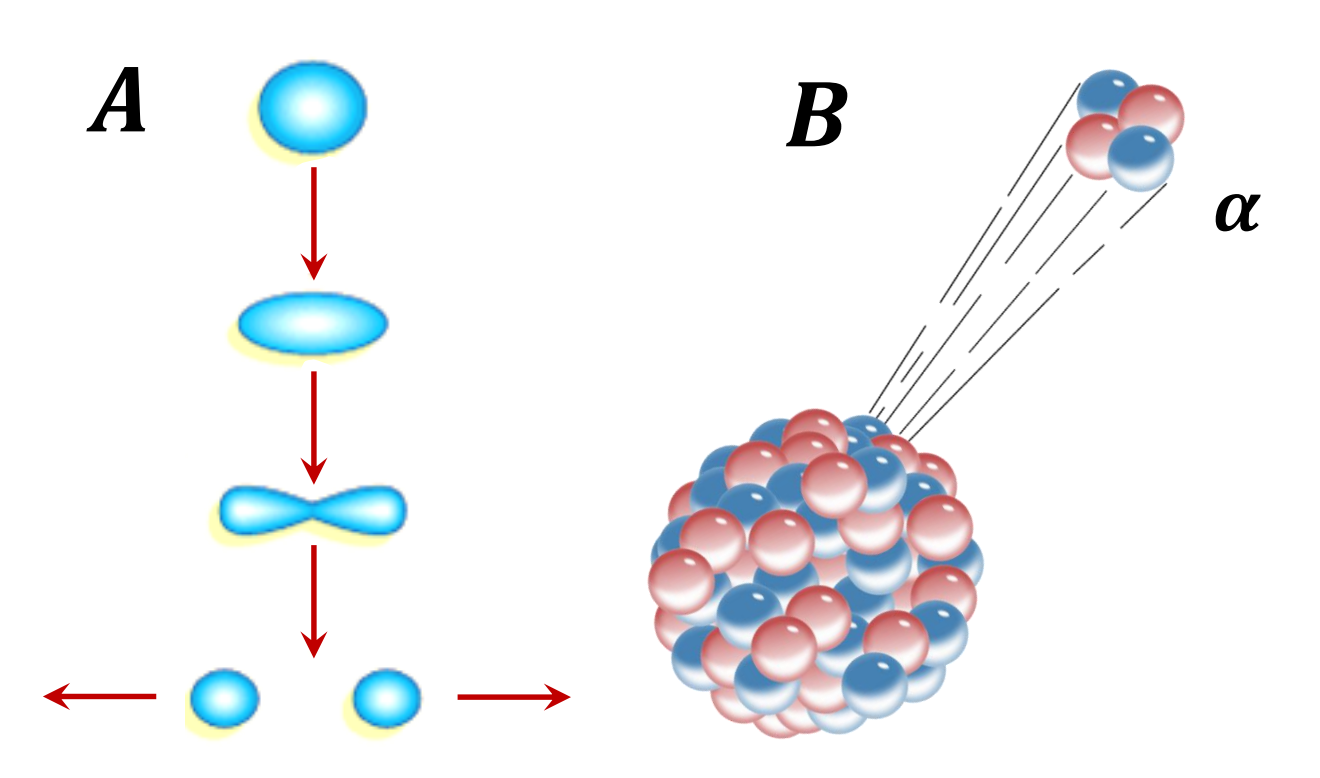


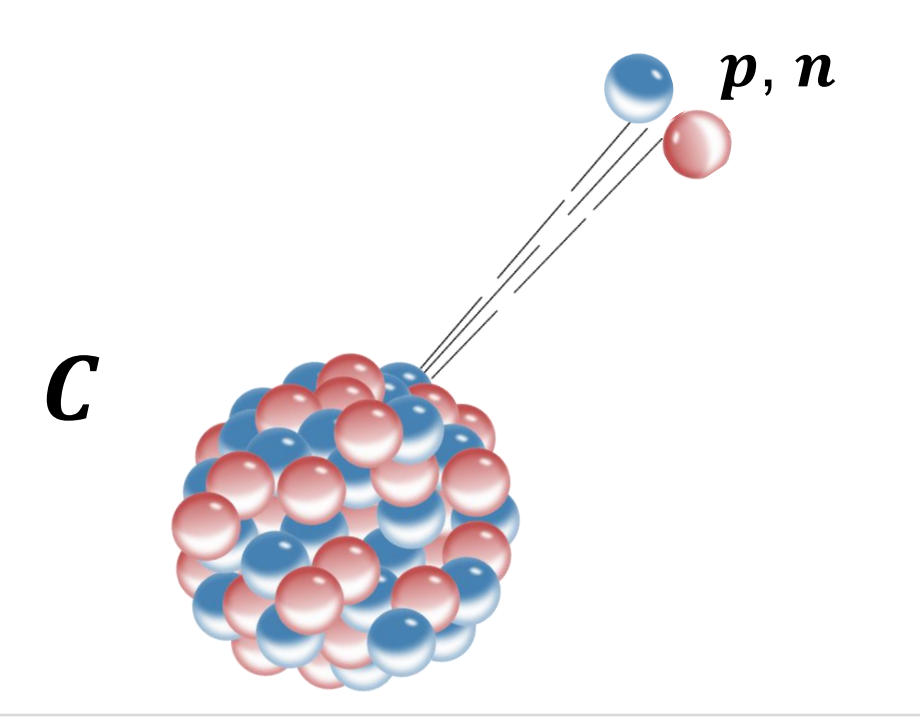
■ Frage: die schwersten Kerne haben A < 250: dies erklärt sich, da Kerne

A) ... spontan spalten können!

B) ... α -Teilchen emittieren können!

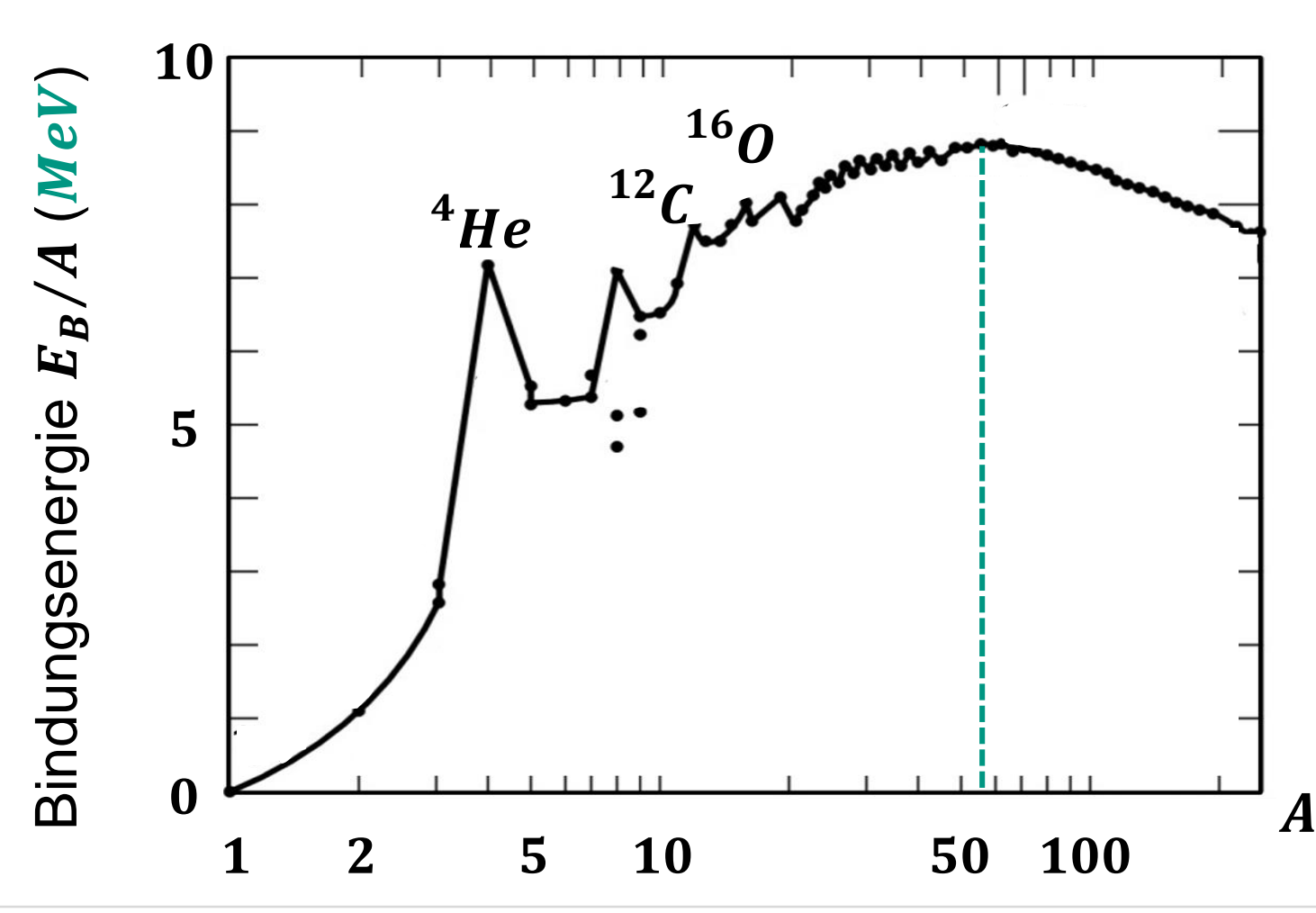
C) ... Nukleonen emittieren können!







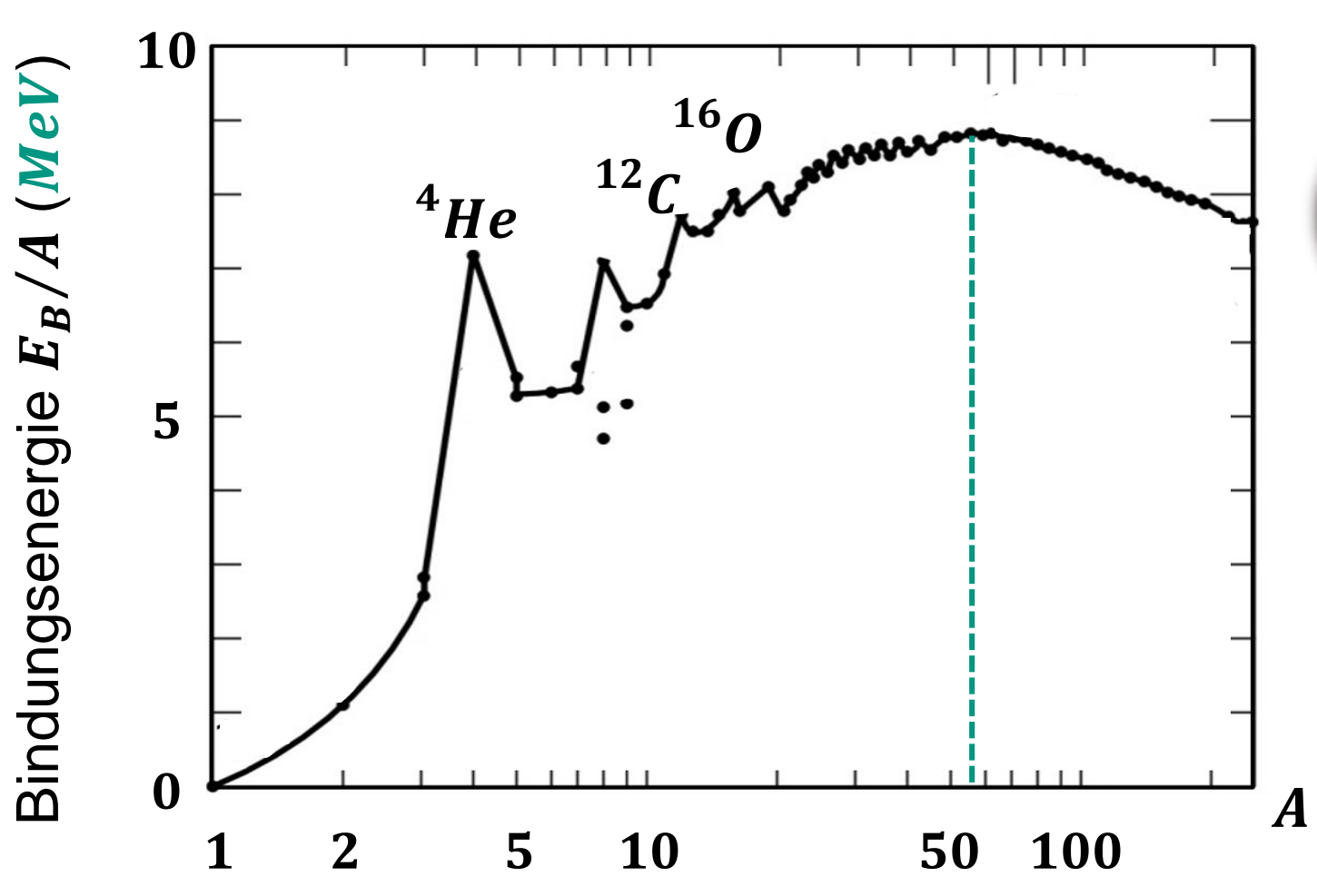
■ Kernmodelle müssen den beobachteten Verlauf von E_B/A reproduzieren



- Abhängigkeit von Masse A mit Maximum bei A = 56
- absolute Größe von 7 ... 8 MeV
- 'Peakstrukturen' bei *A* = 4, 12,
 16
- gg ug uu Verlauf bei den mittleren Massenzahlen



■ Kernmodelle: Tröpfchenmodell von H.A. Bethe & C.F. von Weizsäcker









. A. Bethe Calcipion

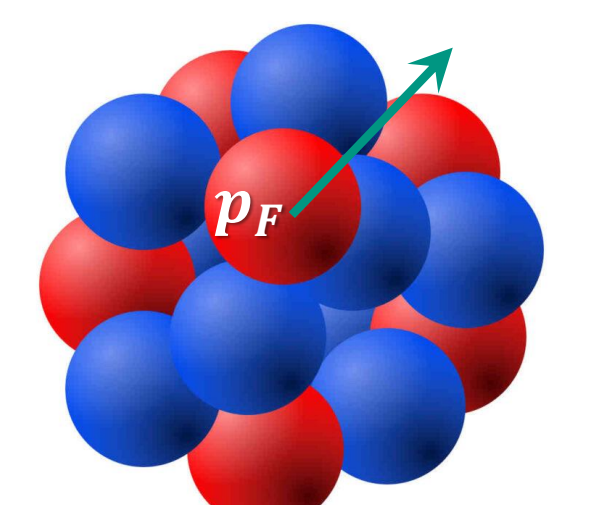
- semiempirische Massenformel: beinhaltet viele freie Parameter, die an Experimente angepasst wurden/werden

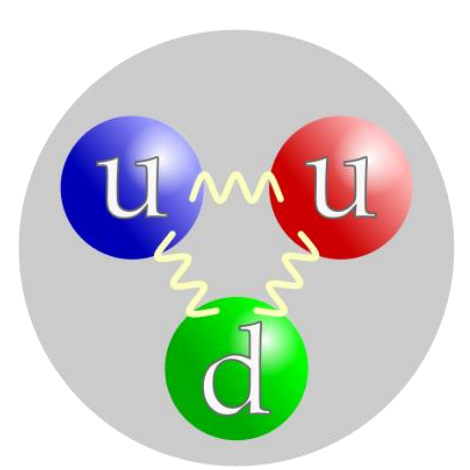
QUIZ: wie schwer sind Nukleonen im Kern?



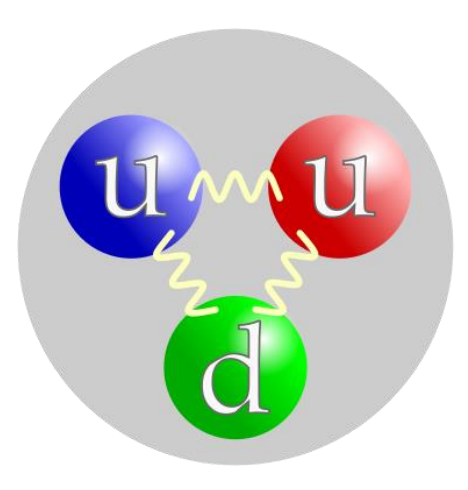
Frage: im Vergleich zu freien Nukleonen sind die Nukleonen im Kern

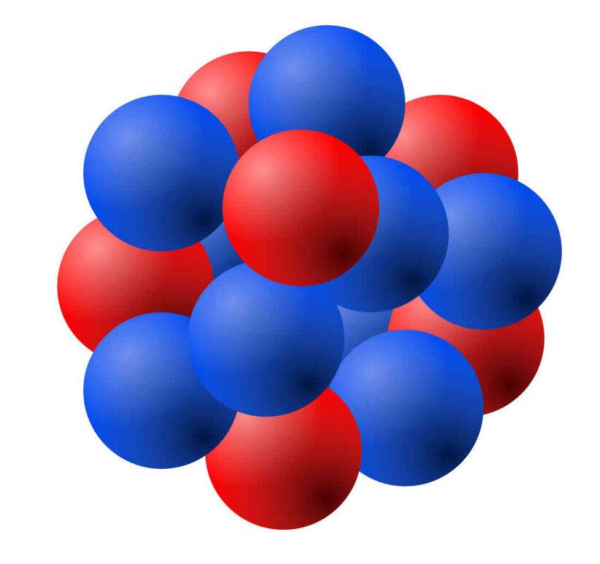
A) ... schwerer da sie relativisisch sind (aka 'Fermi-Impuls' $p_F \sim 0, 25 c)$!





- B) ... gleich schwer da die Nukleon Masse aus Quarks entsteht
- C) ... leichter da sie gebunden sind!





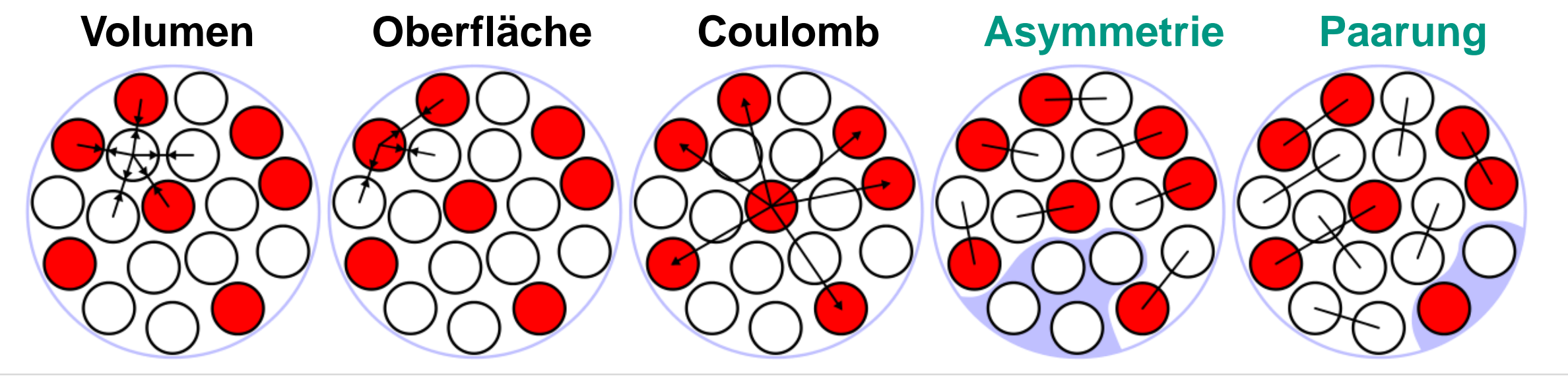
Kernmodelle: Tröpfchenmodell



- Aufgestellt von H.A. Bethe & C.F. von Weizsäcker
 - semi-klassische Beschreibung:
 - 3 klassische Effekte
 - 2 quantenmechanische Effekte









- lacktriangle semiklassisches Modell für Verlauf von E_B/A
- Kerne als inkompressible, geladene 'Flüssigkeitstropfen'
- kurzreichweitige, gesättigte Kernkräfte:

$$E_B/A = const.$$



Nukleon-Ww. nur mit direkten Nachbarn

Nukleon
1

Kern mit A
Nukleonen

Nukleon # 1: Ww. nur mit engsten Nachbarn

Nukleon # A: Ww. nur mit engsten Nachbarn

⇒ Anzahl der Wechselwirkungen ~ A

 $\Rightarrow E_B/A \sim const.$



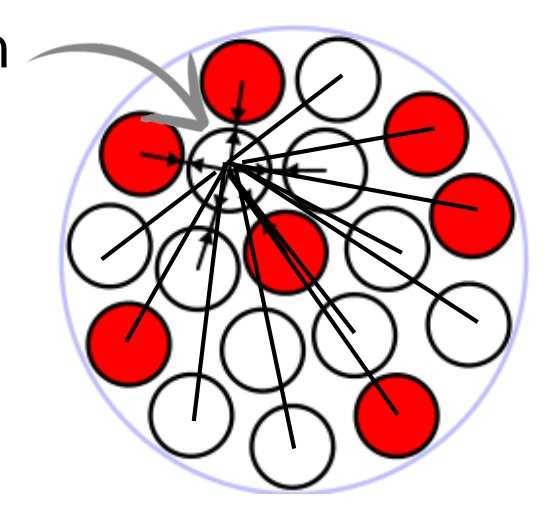
- lacktriangle semiklassisches Modell für Verlauf von E_B/A
- Kerne als inkompressible, geladene 'Flüssigkeitstropfen'
- hypothet., langreichweitige Kernkräfte:

$$E_B/A \sim A$$



hypothetische Nukleon-Ww. mit allen Nachbarn

Nukleon # 1



Nukleon # 1: Ww. nur mit allen Nachbarn

Nukleon # A: Ww. nur mit allen Nachbarn

⇒ Anzahl der Wechselwirkungen ~ A²

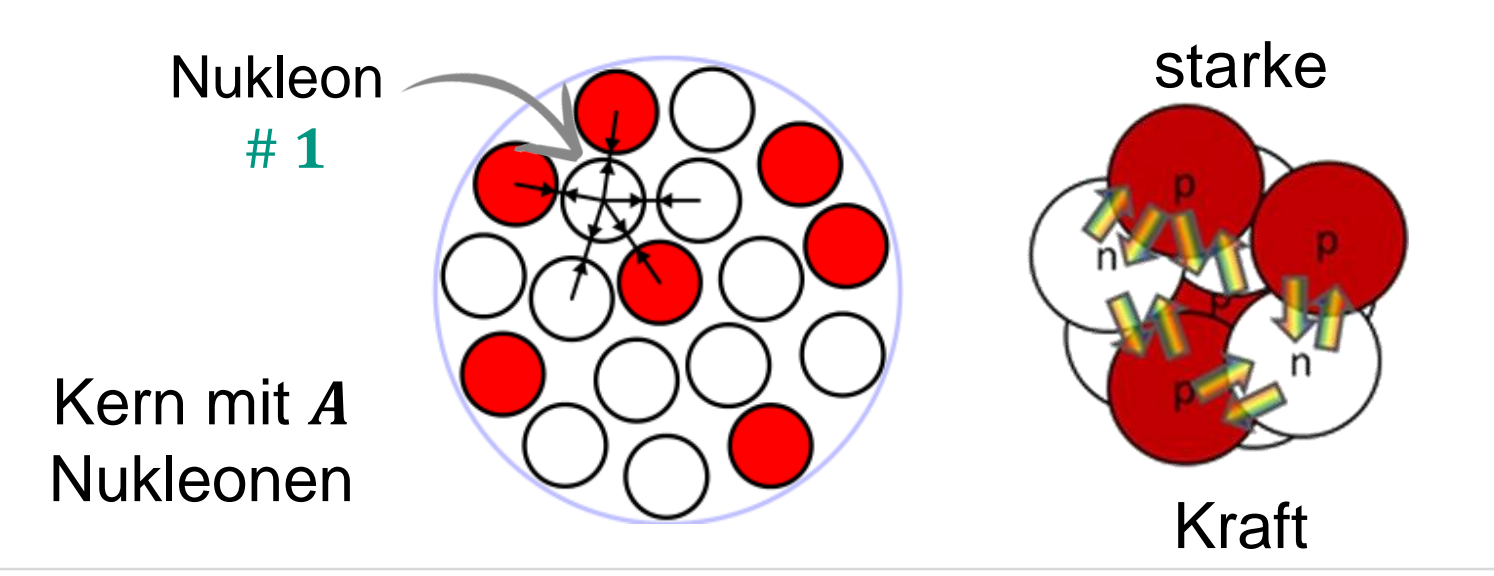


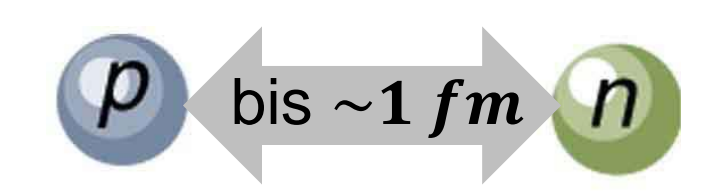
$$\Rightarrow E_B/A \sim A$$

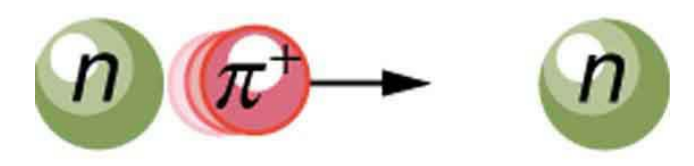


- \blacksquare semiklassisches Modell für Verlauf von E_B/A
- Nukleonen: Austausch von massiven Pionen
- kurzreichweitige, gesättigte Kernkräfte:

$$E_B/A = const.$$





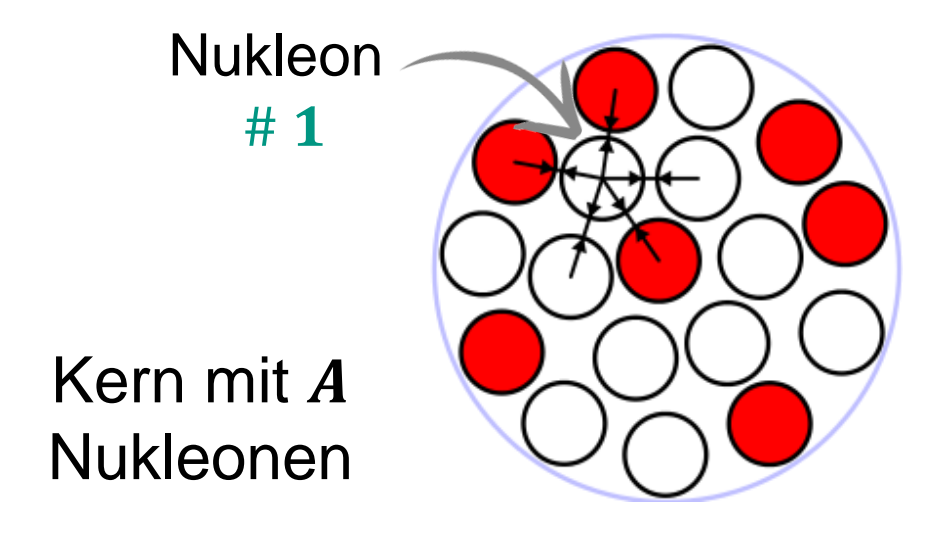








- semiklassisches Modell für Verlauf von E_R/A
- Volumenterm: Nukleon 'fühlt' nur die unmittelbaren Nachbarn
- beschreibt einen unendlich großen Kern ohne Oberfläche



- dominanter Term im Tröpfchenmodell
- positiver Beitrag zur Bindungsenergie*

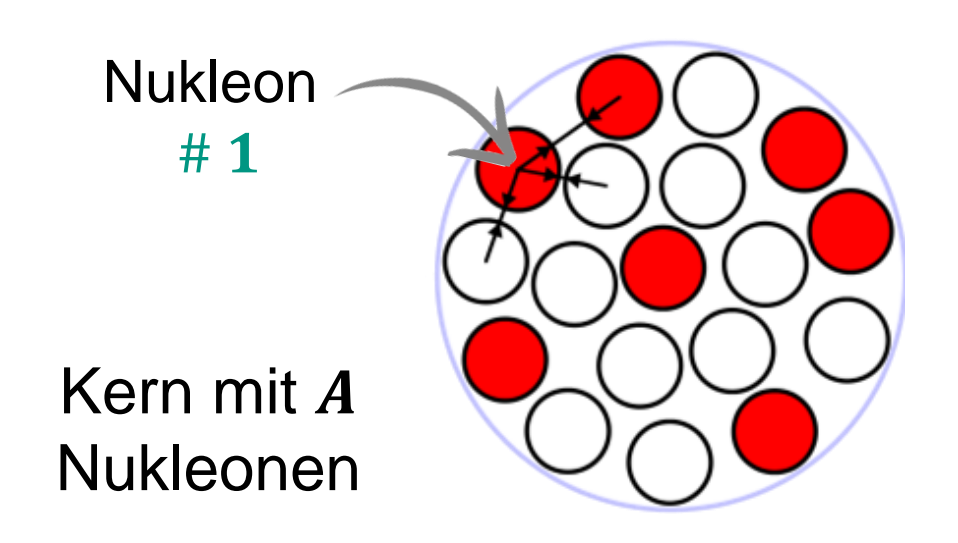
$$E_R(Z,A) \sim a_V \cdot A$$

36

Tröpfchenmodell: Oberflächen-Term



- semiklassisches Modell für Verlauf von E_R/A
- Oberflächenterm: Nukleonen an der Kernoberfläche
- Nukleonen an der Oberfläche des Kerns besitzen weniger Partnernukleonen



G. Drexlin – Atome und Kerne - VL #19

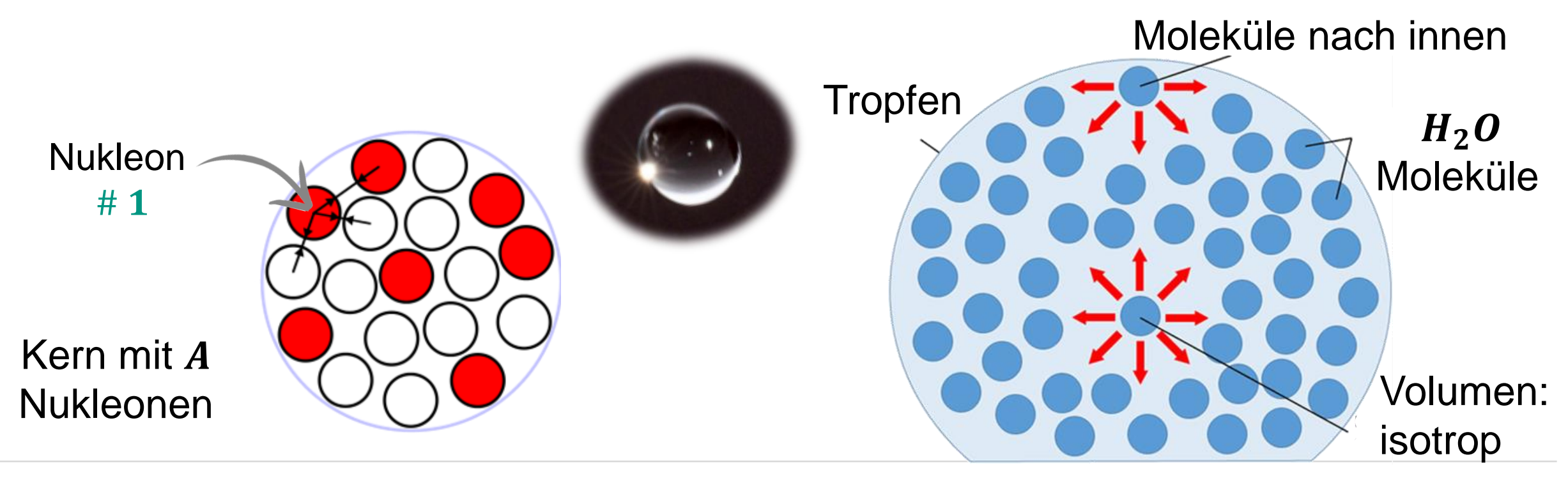
- Reduktion der Bindungsenergie
- negativer Beitrag zur Bindungsenergie*

$$E_B(Z,A) \sim -a_S \cdot A^{2/3}$$

Tröpfchenmodell: Oberflächen-Term



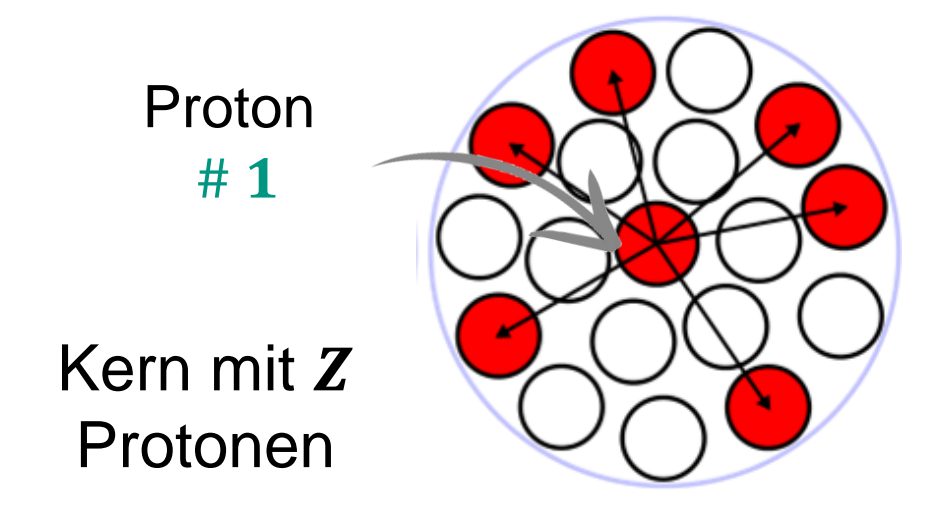
- lacktriangle semiklassisches Modell für Verlauf von E_B/A
- Oberflächenterm: Nukleonen an der Kernoberfläche
- klassisches Analogon: Oberflächenspannung eines Tropfens



Tröpfchenmodell: Coulomb-Term



- \blacksquare semiklassisches Modell für Verlauf von E_B/A
- Protonen erzeugen langreichweitige $(\sim 1/r)$ abstoßende Kraft
- klassisches Analogon: homogen geladene Kugel



- Reduktion der Bindungsenergie
- negativer Beitrag

$$E_B(Z,A) \sim -a_C \cdot Z^2 \cdot A^{-1/3}$$

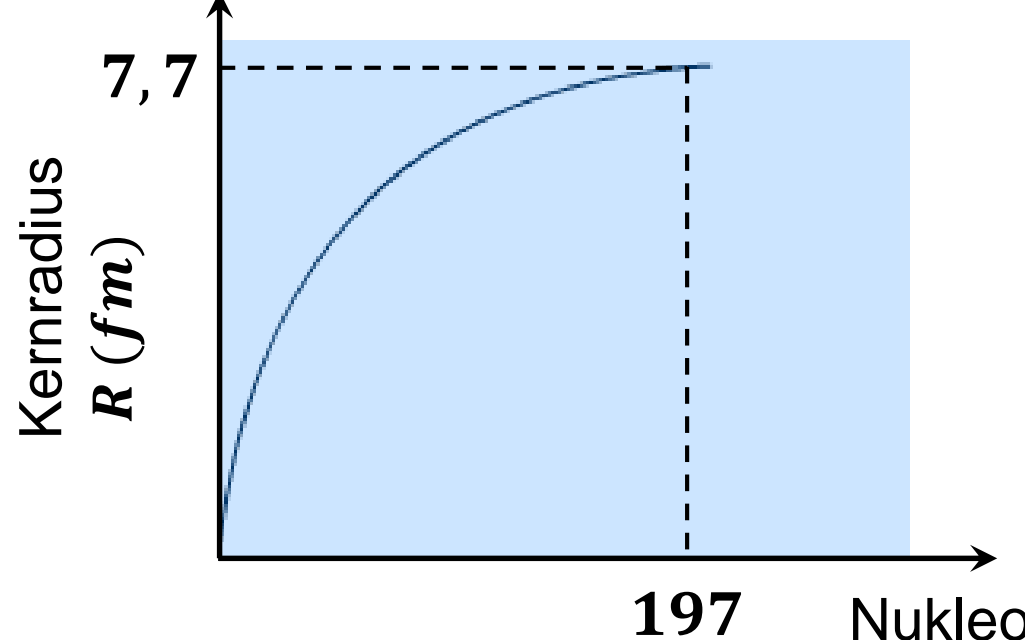
$$R = R_0 \cdot A^{1/3}$$

Tröpfchenmodell: Coulomb-Term



lacktriangle semiklassisches Modell für Verlauf von E_B/A

- Protonen erzeugen langreichweitige $(\sim 1/r)$ abstoßende Kraft
- homogen geladene Kugel mit Radius R, Dichte: $\rho = (Z \cdot e)/(4/3 \cdot \pi \cdot R^3)$



- Reduktion der Bindungsenergie
- negativer Beitrag

$$E_B(Z,A) \sim -a_C \cdot Z^2 \cdot A^{-1/3}$$



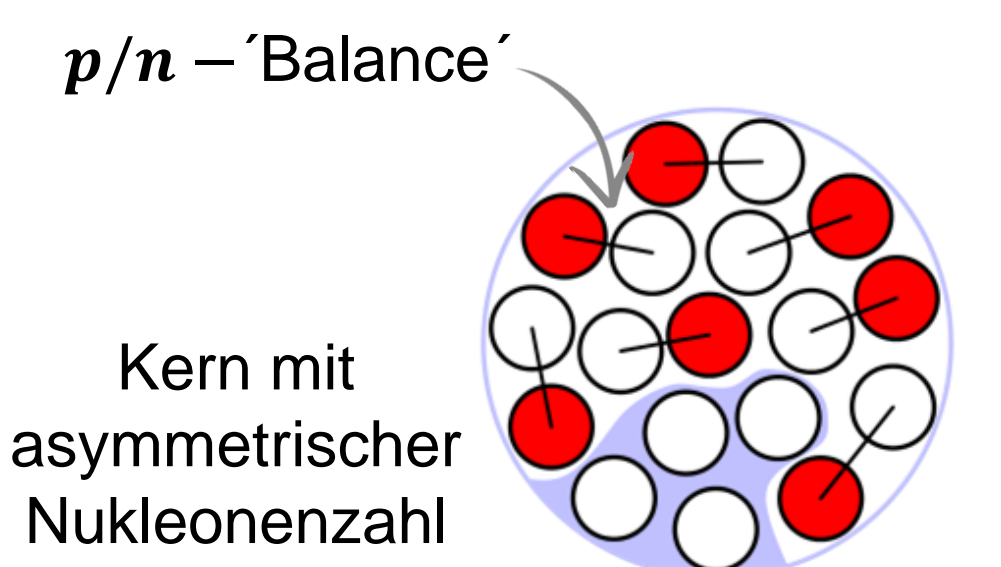
Nukleonen-Anzahl A

$$R = 1, 2 fm \cdot A^{1/3}$$

Tröpfchenmodell: Asymmetrie-Term



- lacktriangle semiklassisches Modell für Verlauf von E_B/A
- Asymmetrieterm: quantenmechanischer Ursprung ideal ist N = Z
- resultiert aus Pauli's Ausschliessungsprinzip



- Reduktion der Bindungsenergie
- negativer Beitrag

$$E_B(Z,A) \sim -a_A \cdot (N-Z)^2/A$$

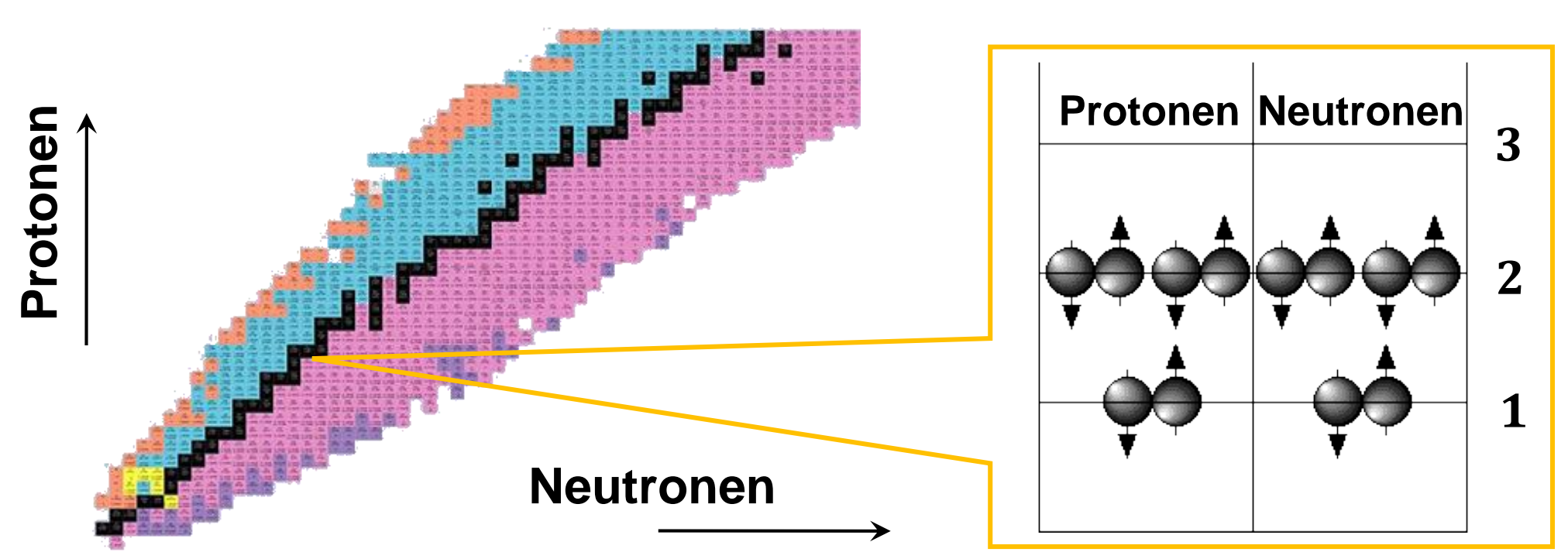
- Konfiguration mit einer identischen Zahl an Protonen (Z) und Neutronen (N) bevorzugt

$$N = Z$$

Tröpfchenmodell: Asymmetrie-Term



- \blacksquare semiklassisches Modell für Verlauf von E_B/A
- Asymmetrieterm: keine stabilen Kerne mit starkem Überschuss an $m{p}$ oder $m{n}$
- wird bei Kernen mit N=Z ein Nukleon ausgetauscht $(p\leftrightarrow n)$, reduziert sich E_B



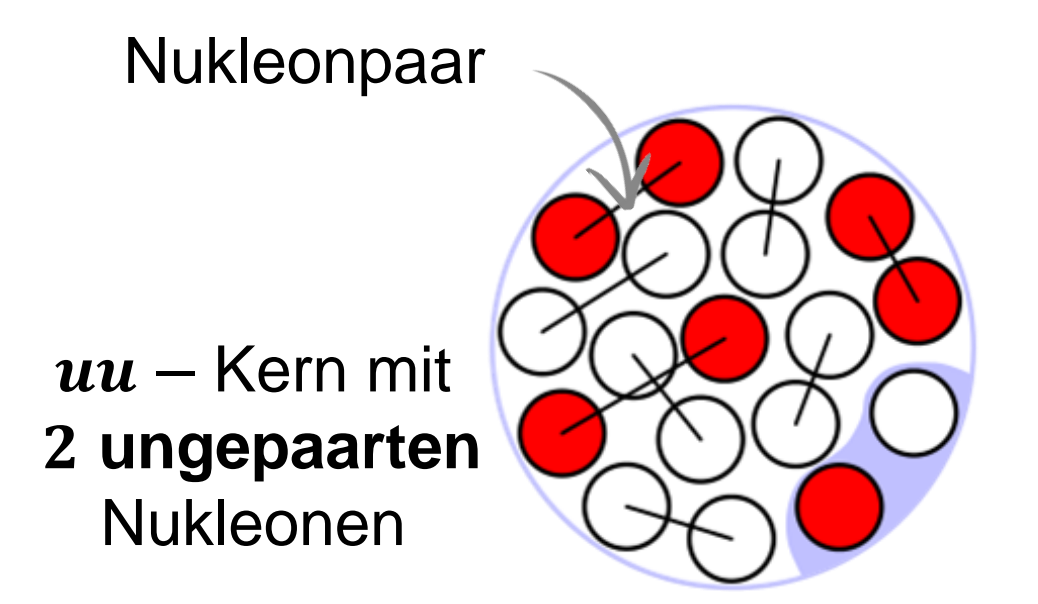
Termschema



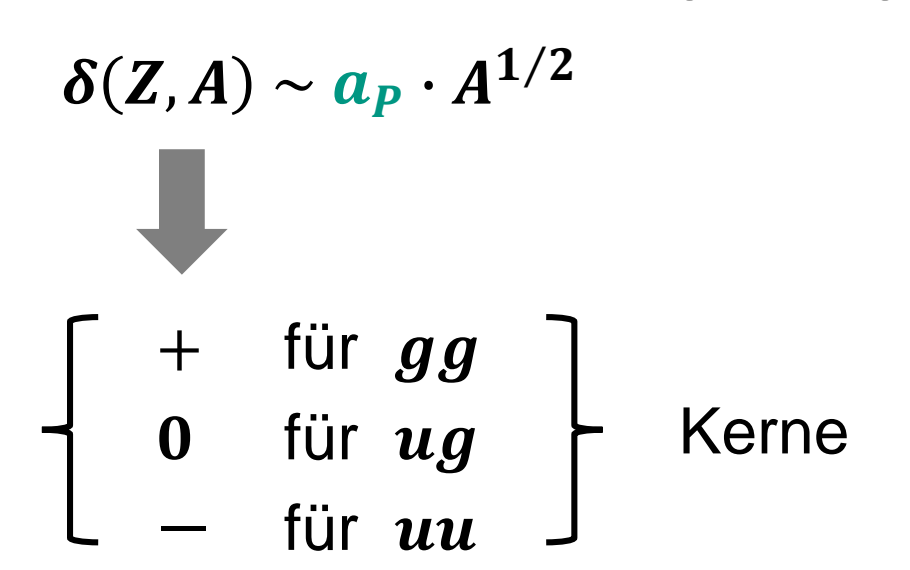
Tröpfchenmodell: Paarungs-Term



- lacktriangle semiklassisches Modell für Verlauf von E_B/A
- Paarungsterm: quantenmechanischer Ursprung
- basiert auf exp. Befunden: gg Kerne stärker gebunden als ug &uu Kerne



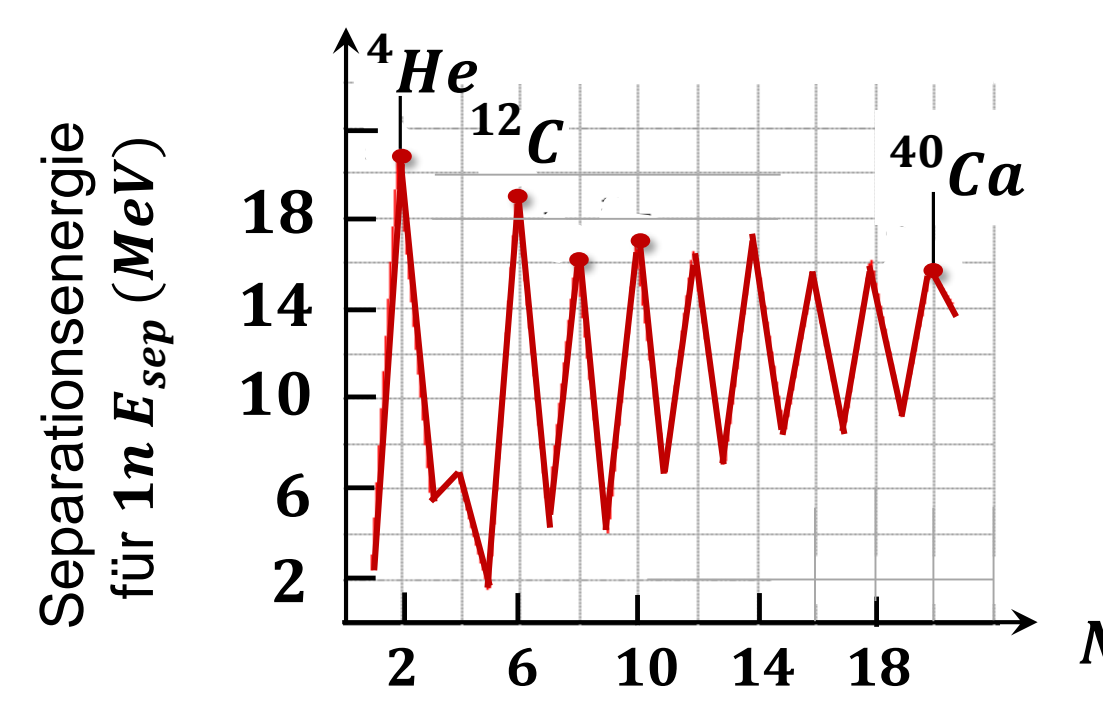
- variabler Einfluss auf Bindungsenergie



Tröpfchenmodell: Paarungs-Term



- lacktriangle semiklassisches Modell für Verlauf von E_B/A
- Paarungsterm: gepaarte Nukleonen mit antiparallelem Spin
- basiert auf exp. Befunden: Kerne mit **geradem** N sind 2 MeV stärker gebunden!



- **Bohr**—**Mottelson** Erweiterung relativ zur Massenformel von Weizsäcker





Nobelpreis 1975

Tröpfchenmodell: Fit der Parameter



- \blacksquare semiklassisches Modell für Verlauf von E_B/A
- Bethe-Weizsäcker'sche Massenformel: Zusammenfassung aller Terme

$$E_B(Z,A) = a_V \cdot A - a_S \cdot A^{2/3} - a_C \cdot Z^2 \cdot A^{-1/3} - a_A \cdot (N-Z)^2 / A \pm \delta(Z,A)$$

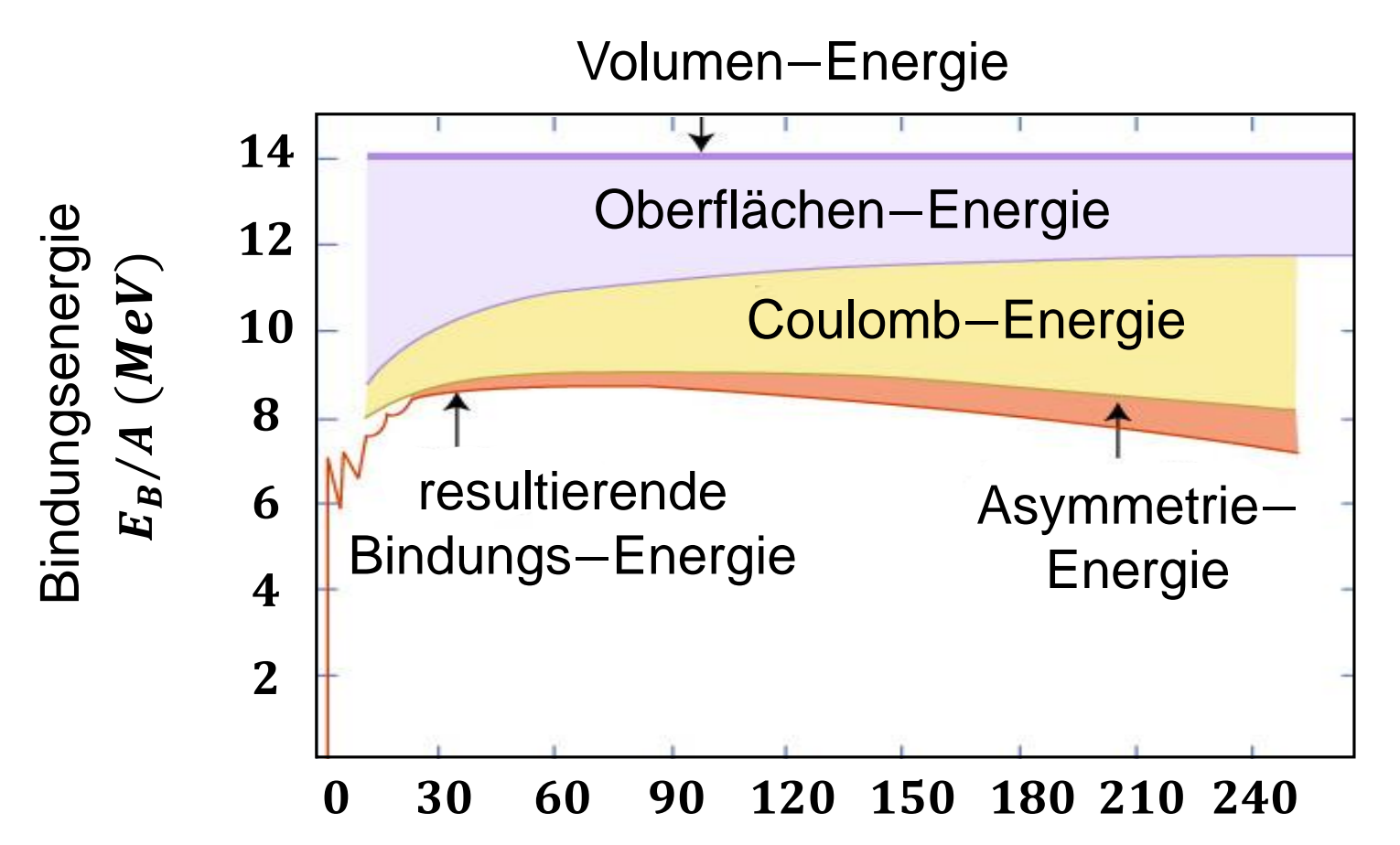
Beitrag	Faktor a	Größe (MeV)
Volumenterm	a_V	15, 58
Oberflächenterm	a_S	16,91
Coulombterm	$a_{\mathcal{C}}$	0,71
Asymmetrieterm	a_A	23,21
Paarungsterm	a_P	11,46

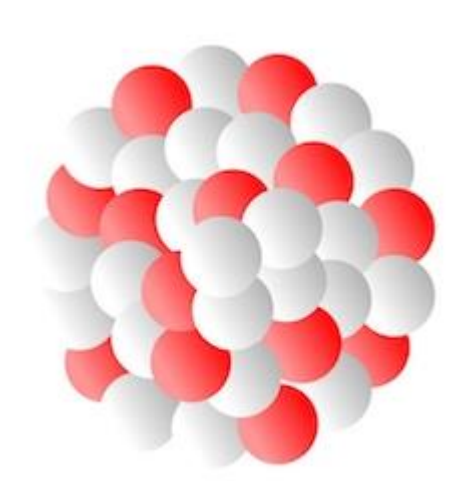
- Anpassung der Terme an zahlreiche experimentell bekannte Kernmassen für Nukleonzahlen A > 40: erlaubt ca. $\sim 10\%$ Genauigkeit

Tröpfchenmodell: Beiträge und Verlauf



■ Bethe-Weizsäcker´sche Massenformel: Zusammenfassung aller Terme



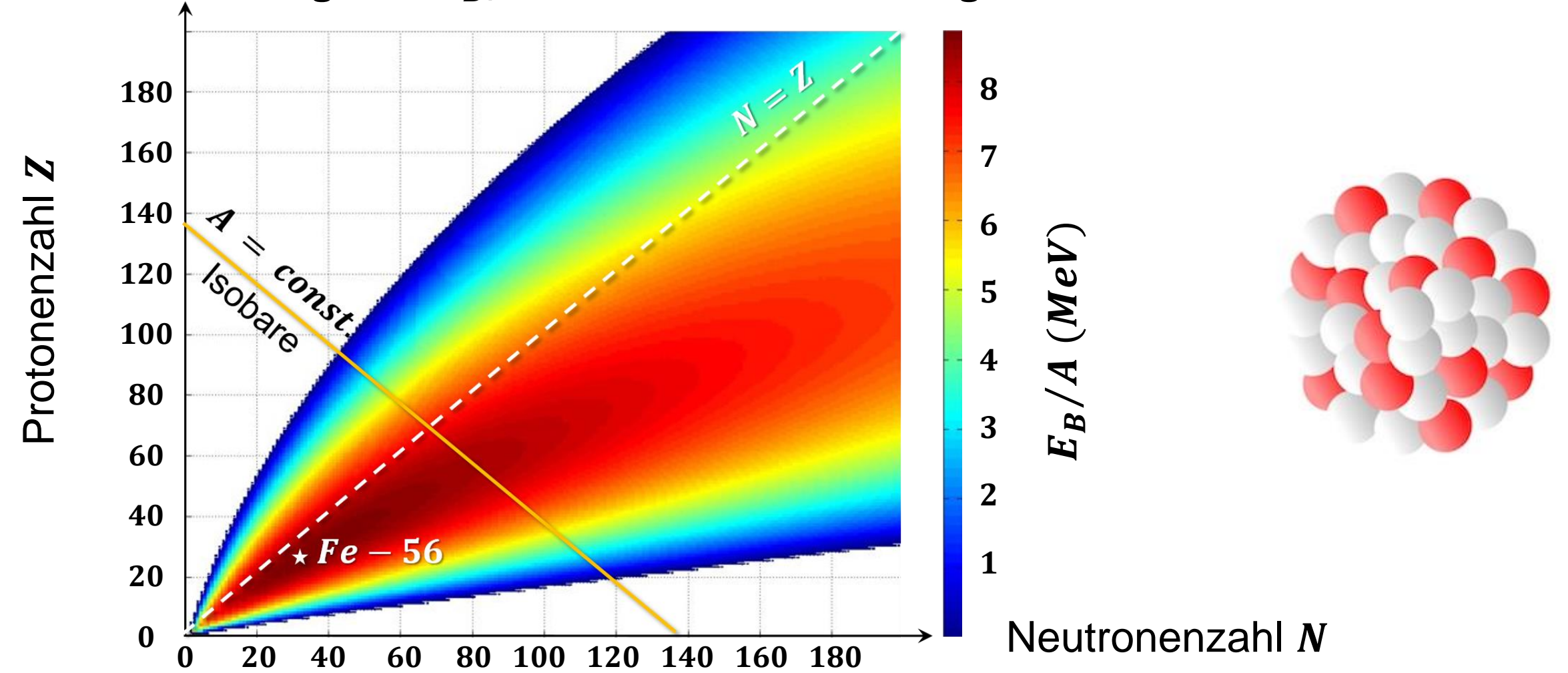


Massenzahl A

Tröpfchenmodell: Beiträge und Verlauf



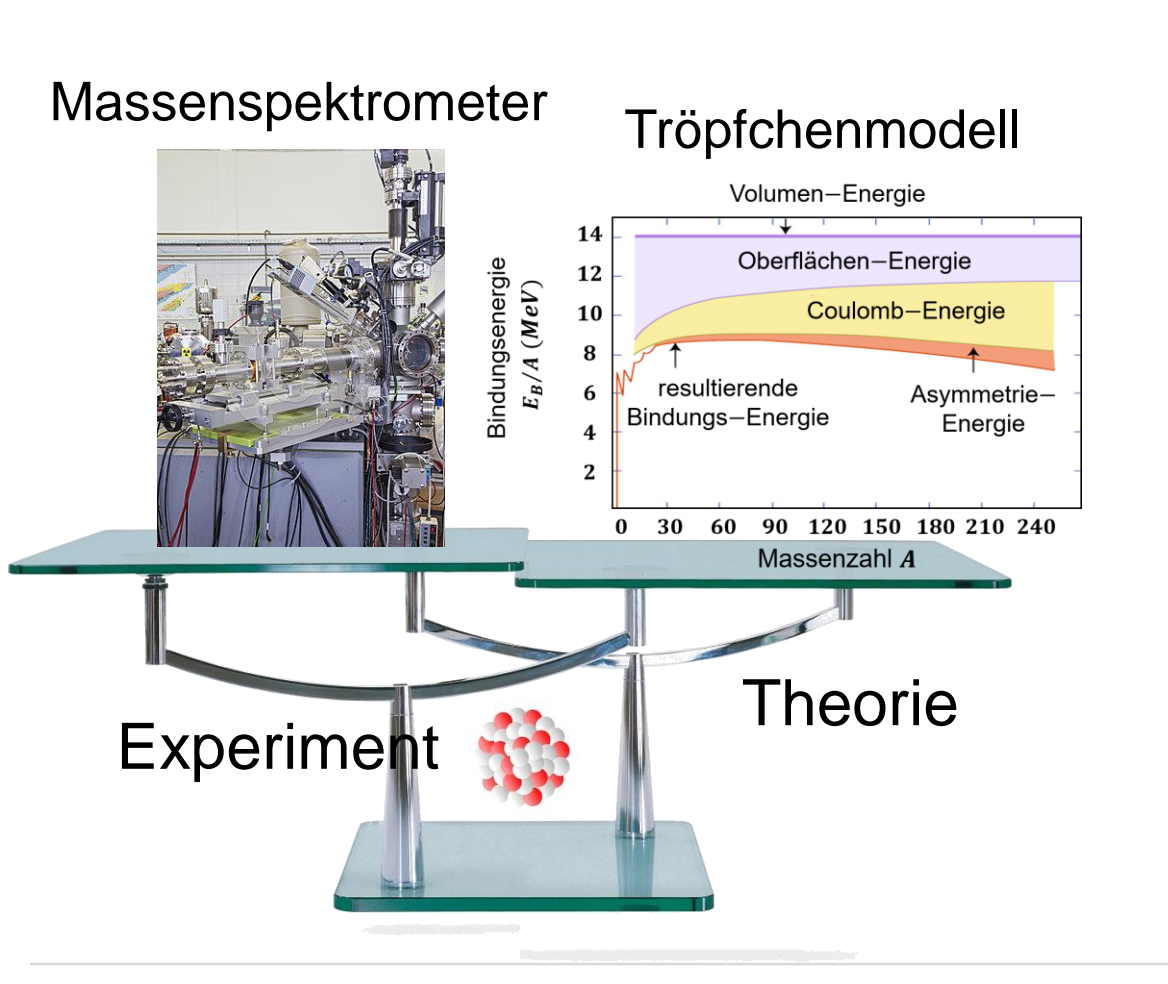
■ Visualisierung von E_B/A für Kerne mit Ladungszahl Z & Neutronenzahl N



Tröpfchenmodell: Bezug zu Kernmassen



■ Bethe-Weizsäcker´sche Massenformel im Vergleich mit der Kernmasse



Kernmasse M

$$M(Z,A) = Z \cdot M_P + N \cdot M_N - E_B(Z,A)$$



938, 27 *MeV* 939, 57 *MeV*

klein, ~ 1% der Nukleonenmasse

Kerne: Begrifflichkeiten bei den Nukliden

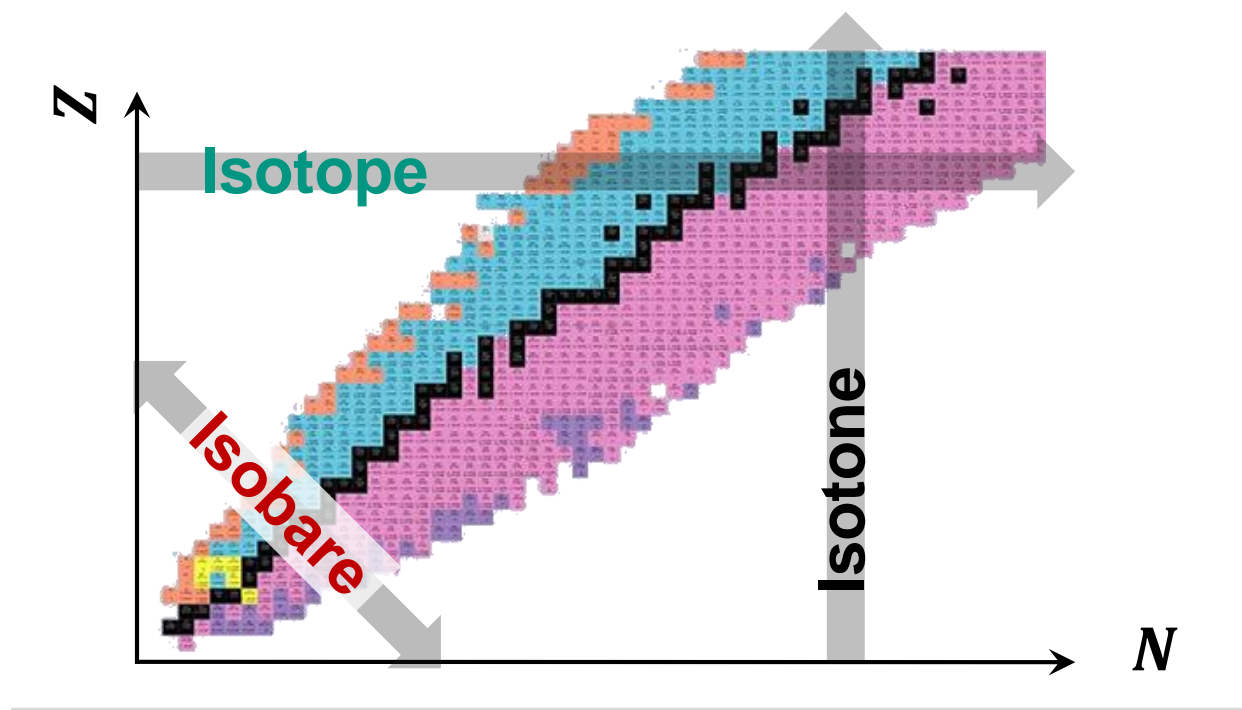


■ Isotope, Isobare und Isotone sowie Spiergelkerne

- Spiegelkerne:

gleiches
$$A = Z_1 + N_1 [C - 14: 6p + 8n]$$

= $Z_2 + N_2 [N - 14: 8p + 6n]$



ISOTOPE:

Kerne mit gleicher Protonenzahl Z

 $124,126,128,129,130,131,132,134,136_{54}Xe$

ISOTONE:

Kerne mit gleicher Neutronenzahl N

$$^{36}S_{20}$$
 $^{37}Cl_{20}$ $^{38}Ar_{20}$ $^{39}K_{20}$

ISOBARE:

Kerne mit gleicher Nukleonenzahl A

$$^{138}Ba$$
 ^{138}La ^{138}Ce



Eigenschaften von Isobaren

es gibt für jedes A = const.
 ein stabilstes Nuklid
 mehrere stabile Nuklide

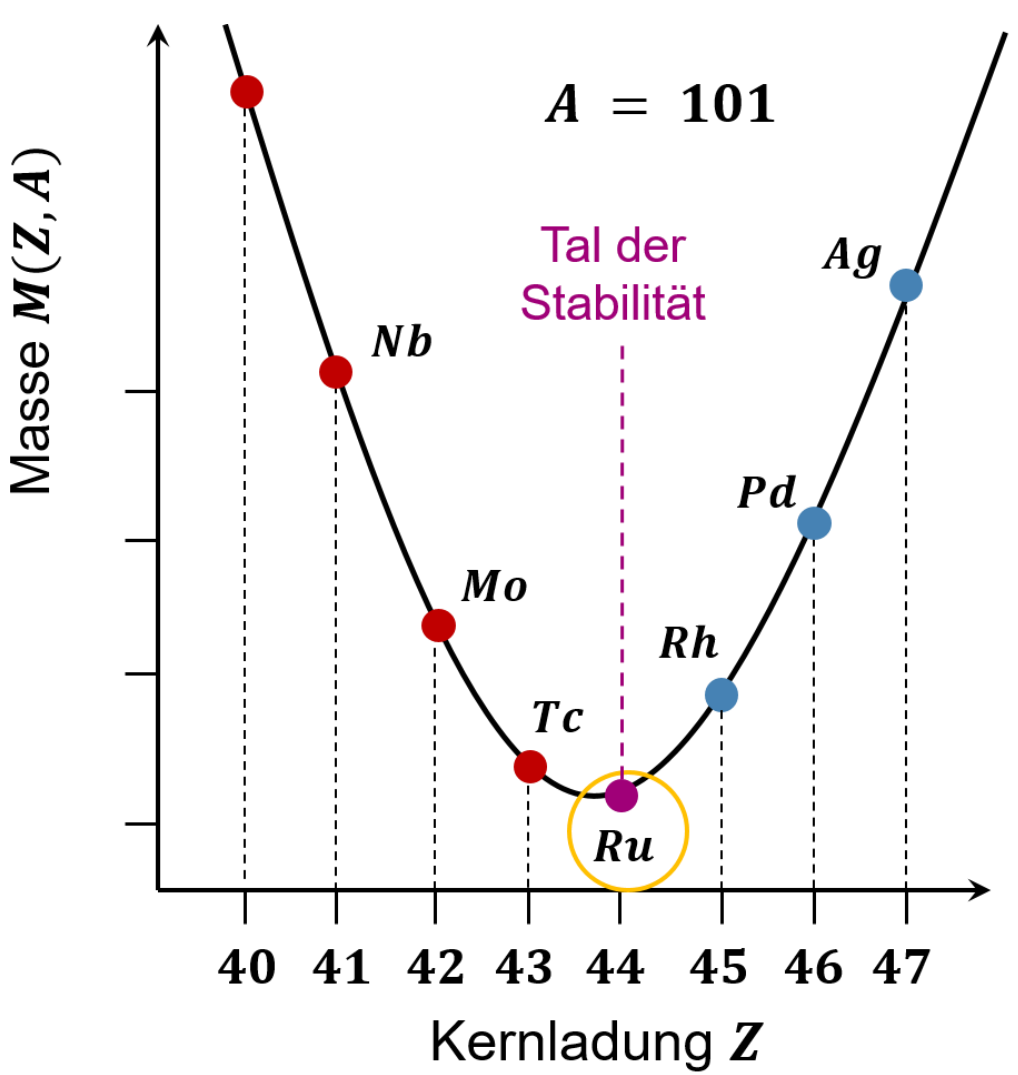
im 'Stabilitätstal'

- Vorgehen:
 - a) ordne Nuklide mit Masse M(Z, A = const.)nach Kernladung Z
 - b) bilde $\partial E_B(Z, A = const.)/\partial Z = 0$



Eigenschaften von Isobaren

- ug – Kerne:1 Massenparabel



Karlsruhe Institute of Technology

Eigenschaften von Isobaren

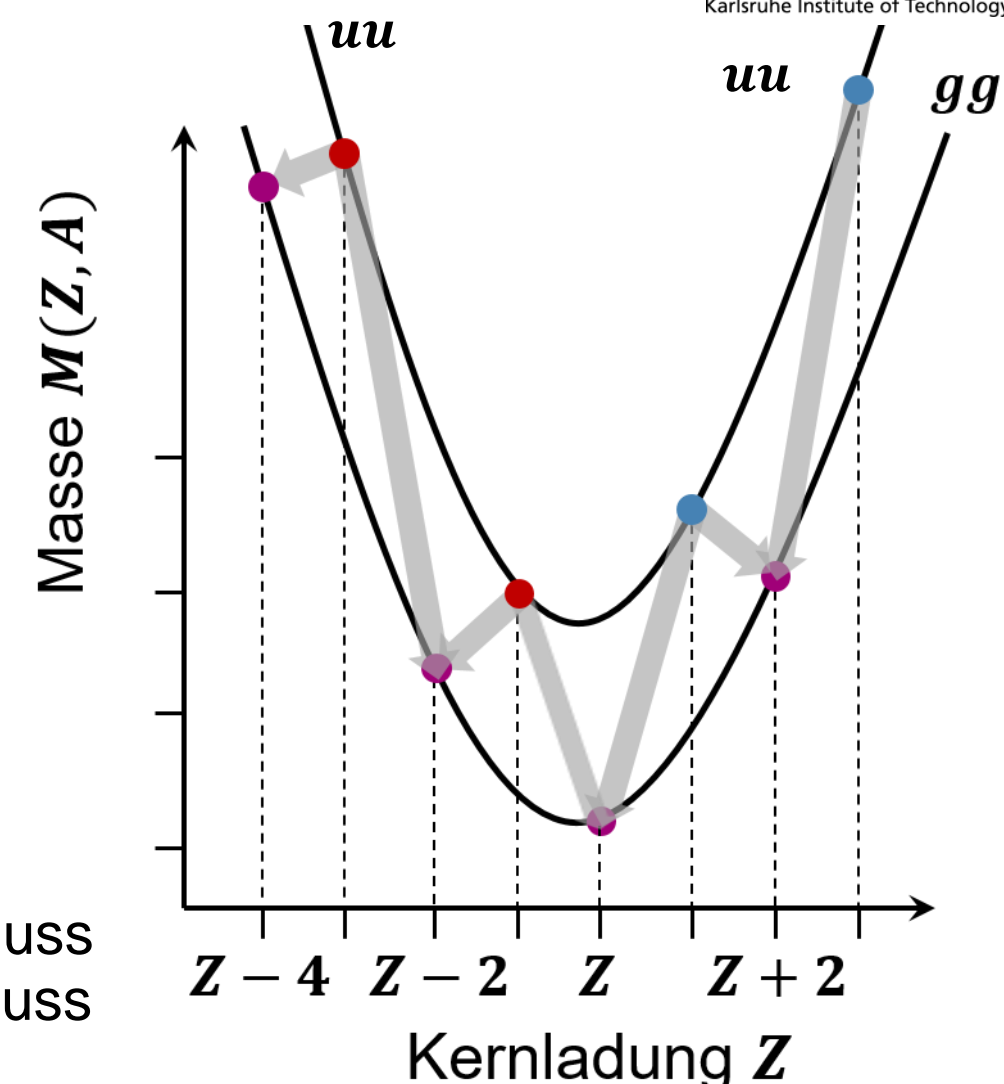
- gg – und uu – Kerne:2 Massenparabeln

durch Paarungsterm

Parametrisiert durch Paarungsenergie δ



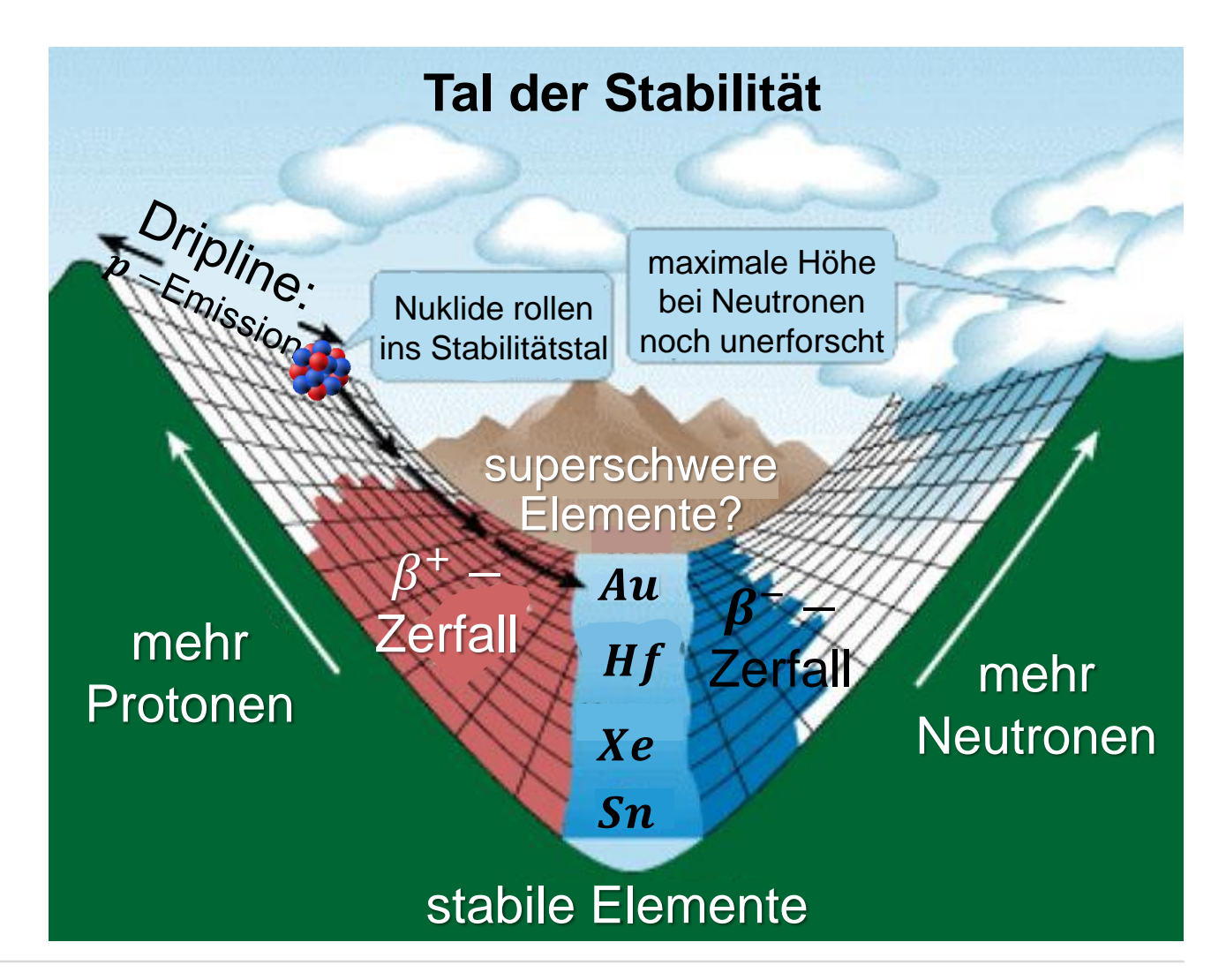
mehrere stabile Nuklide



- $n \ddot{\cup}$ berschuss
- p Überschuss
- stabil



- Beobachtungen
- Coulomb—Abstoßung der Protonen erzeugt bei schweren Kernen einen deutlichen
 Neutronenüberschuss
- außerhalb des Stabilitätstals: β Zerfälle, α Zerfälle oder Emission von p, n



Lebensdauern

Instabile Nuklide

außerhalb des Stabilitätstals:

 β – Zerfälle

 α – Zerfälle oder

Emission von p, n

